

Comune di Nole
Città Metropolitana di Torino

**Lavori di ampliamento del cimitero del capoluogo
con nuova costruzione di loculi ed edicole
funerarie e relative opere di recinzione e
complementari**

PROGETTO DEFINITIVO -ESECUTIVO

Relazione di calcolo delle strutture

PROGETTISTA



STUDIO TECNICO

ASSOCIATO

Arch. Roberta Maggio

Ing. Nicola Mordà

Geom. Giandomenico Pison

Ing. Fabio Sessa

Via Maggioletto, 11 - 10010 Bairo (TO)

tel. +39 0124 570455 - fax +39 0124 570211 -

mail info@playprogetti.it



DATA: Novembre 2018

ELABORATO

INDICE

1.	Premessa.....	3
2.	Riferimenti legislativi.....	3
3.	Descrizione dell'intervento	4
4.	Materiali previsti e resistenze di calcolo.....	6
5.	Modellazione della struttura.....	7
6.	Precisazioni sul codice di calcolo utilizzato	8
7.	Criteri adottati per l'analisi sismica.....	9
8.	Modalità di progetto e verifica.....	12
9.	Analisi dei carichi	13
10.	Carichi applicati sul modello numerico	14
10.1.	Solette loculi	14
10.2.	Solette intermedie (voltini).....	14
10.3.	Soletta copertura	14
10.4.	Peso archi in c.a.....	14
11.	Combinazioni di carico	15
12.	Risultati analisi	19
13.	Verifiche SLU	21
13.1.	Verifica travi portico	21
13.2.	Verifica trave compluvio copertura.....	25
13.3.	Trave copertura triangolare	28
13.4.	Verifica solette loculi sp. 10cm	31
13.5.	Verifica solette intermedie sp. 20cm.....	33
13.6.	Verifica copertura	36
13.7.	Verifica pilastri	40
13.8.	Verifica pareti	42
13.9.	Verifica fuori piano parete E-B	65
14.	Conclusioni.....	67

INDICE DELLE FIGURE

Figura 1 - Pianta struttura	4
Figura 2 - Sezione tipologica	5
Figura 3 - Prospetto tipologico	5
Figura 4 - Modello di calcolo	7
Figura 5 - Spettro di riferimento SLV.....	11
Figura 6 - Modi di vibrare n. 1-2	19
Figura 7 - Modi vibrare n. 3-4	20
Figura 8 - Reazioni vincolari per caso di carico	20
Figura 9 - Inviluppo my SLU	21
Figura 10 - Inviluppo my SLE Caratt.....	21
Figura 11 - Inviluppo my SLE Freq.....	22
Figura 12 - Inviluppo SLE Quasi perm.....	22
Figura 13 - Inviluppo Vz SLU-SLV	22
Figura 14 - Individuazione trave copertura.....	25
Figura 15 - Sollecitazioni agenti SLU-SLV.....	25
Figura 16 - Sollecitazioni SLE.....	26
Figura 17 - Sollecitazioni SLU trave triangolare	28
Figura 18 - Sollecitazioni agenti soletta loculi	31
Figura 19 - Momenti agenti prima fase.....	37
Figura 20 - Momento agente 2a fase (striscia 1m).....	38
Figura 21 - Taglio agente seconda fase (striscia 1m).....	38
Figura 23 - Identificazione pareti.....	42
Figura 24 - Momento orizzontale fuori piano parete E.....	65
Figura 25- Momento orizzontale fuori piano parete B.....	65
Figura 26 - Dettaglio momento orizzontale fuori piano parete B	66

1. Premessa

La presente relazione ai sensi del C.10.1 delle NTC18 ha per oggetto la redazione delle verifiche statiche relative all'ampliamento dell'area cimiteriale del cimitero comunale di Nole (TO).

2. Riferimenti legislativi

L'analisi della struttura e le verifiche sugli elementi sono state condotte in accordo alle vigenti disposizioni legislative ed in particolare delle seguenti norme:

Legge 05/11/1971, n.1086

"Norme per la disciplina delle opere di conglomerato cementizio armato, normale e precompresso ed a struttura metallica."

Legge 02/02/74, n.64

"Provvedimenti per le costruzioni con particolari prescrizioni per le zone sismiche."

D.M. del 17/01/2018

"Norme tecniche per le costruzioni."

Ulteriori riferimenti tecnici sono costituiti

Circolare 2 febbraio 2009, n. 617 – Ministero delle Infrastrutture e dei Trasporti

"Istruzioni per l'applicazione delle «Nuove norme tecniche per le costruzioni» di cui al decreto ministeriale 14 gennaio 2008.

Eurocodice 2 – *"Progettazione delle strutture in calcestruzzo"*

Eurocodice 3 – *"Progettazione delle strutture in acciaio"*

Eurocodice 5 – *"Progettazione delle strutture in legno"*

Eurocodice 8 – *"Progettazione delle strutture per la resistenza sismica"*

3. Descrizione dell'intervento

L'intervento in oggetto consiste nella realizzazione di una serie di maniche contenenti loculi realizzati con struttura in conglomerato cementizio armato. La struttura è costituita da pareti e pilastri in c.a. Di seguito sono riportati degli stralci degli elaborati grafici.

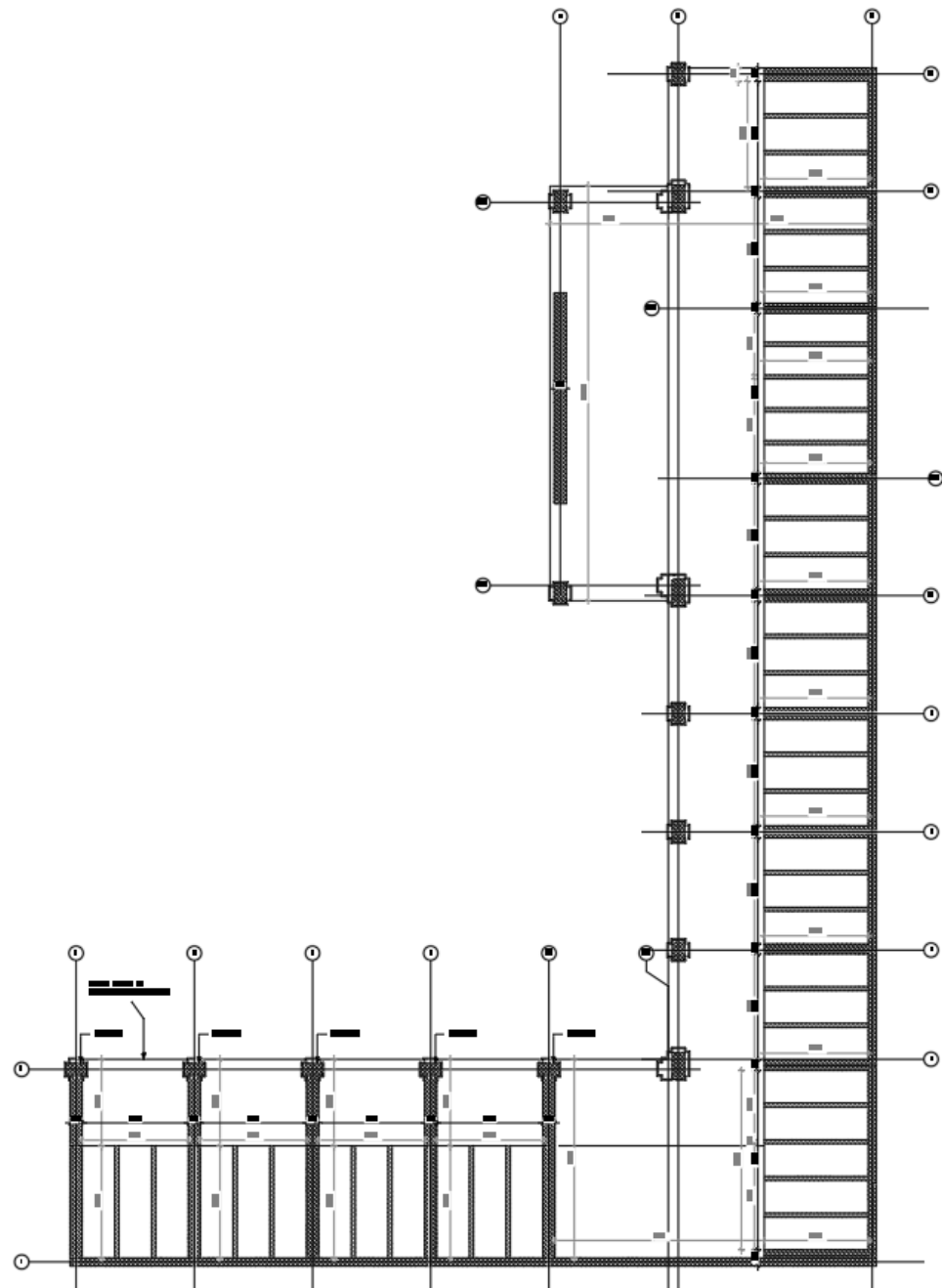


Figura 1 - Pianta struttura

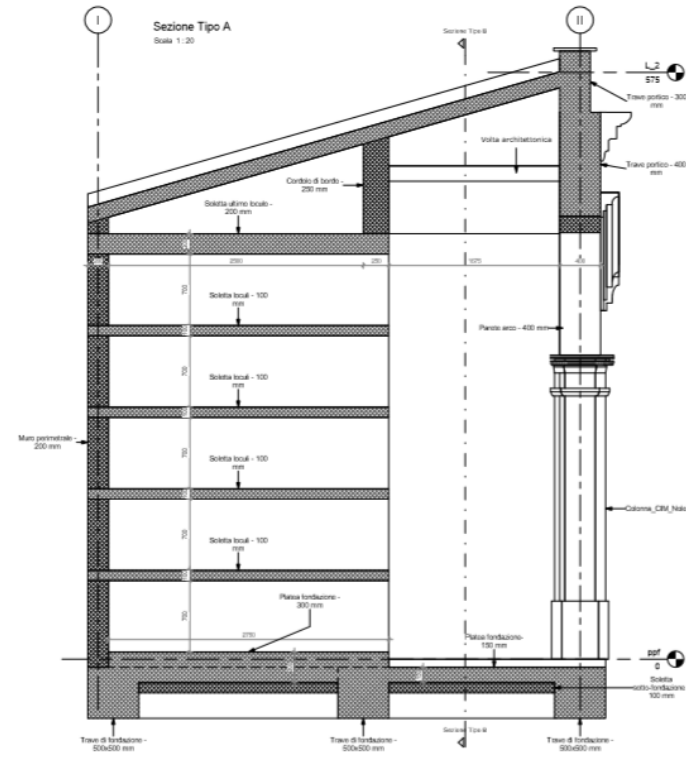


Figura 2 - Sezione tipologica

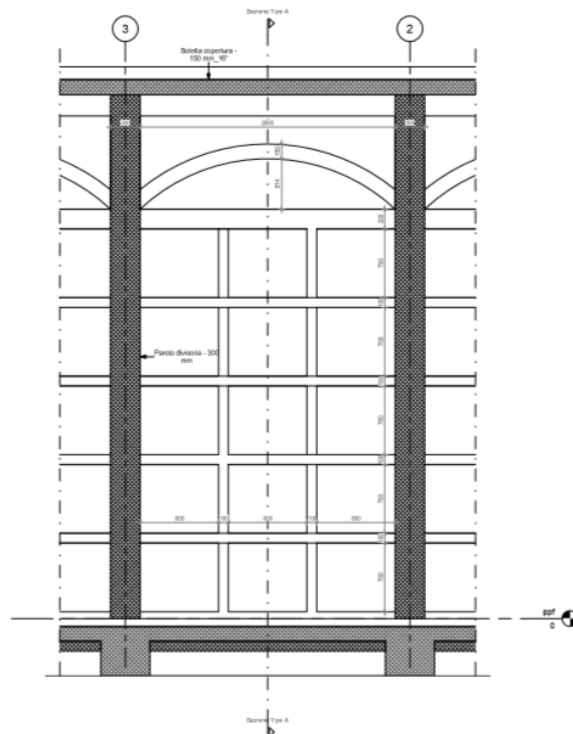


Figura 3 - Prospetto tipologico

4. Materiali previsti e resistenze di calcolo

CLS STRUTTURE

Calcestruzzo armato classe C 25 / 30

<i>Classe di esposizione</i>	<i>XC2</i>
<i>Massimo rapporto a/c</i>	<i>0.5</i>
<i>Resistenza cubica caratteristica</i>	$R_{ck} = 30 \text{ N/mm}^2$
<i>Resistenza cilindrica caratteristica</i>	$f_{ck} = 24.9 \text{ N/mm}^2$
<i>Resistenza cilindrica media</i>	$f_{cm} = 32.9 \text{ N/mm}^2$
<i>Resistenza media a trazione</i>	$f_{ctm} = 2.56 \text{ N/mm}^2$
<i>Resistenza media a trazione per flessione</i>	$f_{cfm} = 3.07 \text{ N/mm}^2$
<i>Resistenza caratteristica a trazione</i>	$f_{ctk} = 1.79 \text{ N/mm}^2$
<i>Modulo elastico medio</i>	$E_{cm} = 31447 \text{ N/mm}^2$
<i>Fattore parziale di sicurezza</i>	<i>$\gamma_c = 1.5$</i>
<i>Fattore riduzione resistenza per lunga durata</i>	<i>$\alpha_c = 0.85$</i>
<i>Resistenza a compressione di calcolo</i>	$f_{cd} = 14.11 \text{ N/mm}^2$
<i>Resistenza a trazione di calcolo</i>	$f_{ctd} = 1.19 \text{ N/mm}^2$
<i>Resistenza a trazione per flessione di calcolo</i>	$f_{ctfd} = 1.43 \text{ N/mm}^2$
<i>Deformazione limite del calcestruzzo</i>	$\varepsilon_{c0} = 0.20 \text{ \%}$
<i>Deformazione ultima del calcestruzzo</i>	$\varepsilon_{cu} = 0.35 \text{ \%}$
<i>Ricoprimento</i>	$c = 30 \text{ mm}$

Stato limite controllo tensioni calcestruzzo

<i>SLE rara tens. CLS</i>	$\sigma_{clim} = 14.94 \text{ N/mm}^2$
<i>SLE quasi permanente tens. CLS</i>	$\sigma_{clim} = 11.21 \text{ N/mm}^2$

Stato limite di fessurazione

<i>Condizioni ambientali</i>	ordinaria
<i>Sensibilità armature alla corrosione</i>	poco sensibili
<i>SL frequente-apertura fessure</i>	$w_k = 0.40 \text{ mm}$

Conversione sistema tecnico $10 \text{ N} \approx 1.0 \text{ kg}$

Acciaio B450C

<i>Tensione caratteristica a rottura</i>	$f_{yt} = 540 \text{ N/mm}^2$
<i>Tensione caratteristica a snervamento</i>	$f_{yk} = 450 \text{ N/mm}^2$
<i>Modulo elastico</i>	$E_s = 210000 \text{ N/mm}^2$
<i>Fattore parziale di sicurezza</i>	<i>$\gamma_s = 1.15$</i>
<i>Resistenza di calcolo</i>	$f_{yd} = 391.3 \text{ N/mm}^2$
<i>SL rara tensione acciaio</i>	$\sigma_{slim} = 360 \text{ N/mm}^2$

5. Modellazione della struttura

La modellazione della struttura è stata effettuata tramite il software Midas Gen 2019. Le pareti e le solette piene sono modellate attraverso elementi bidimensionali. Travi di fondazione, copertura e pilastri sono modellati attraverso elementi monodimensionali.

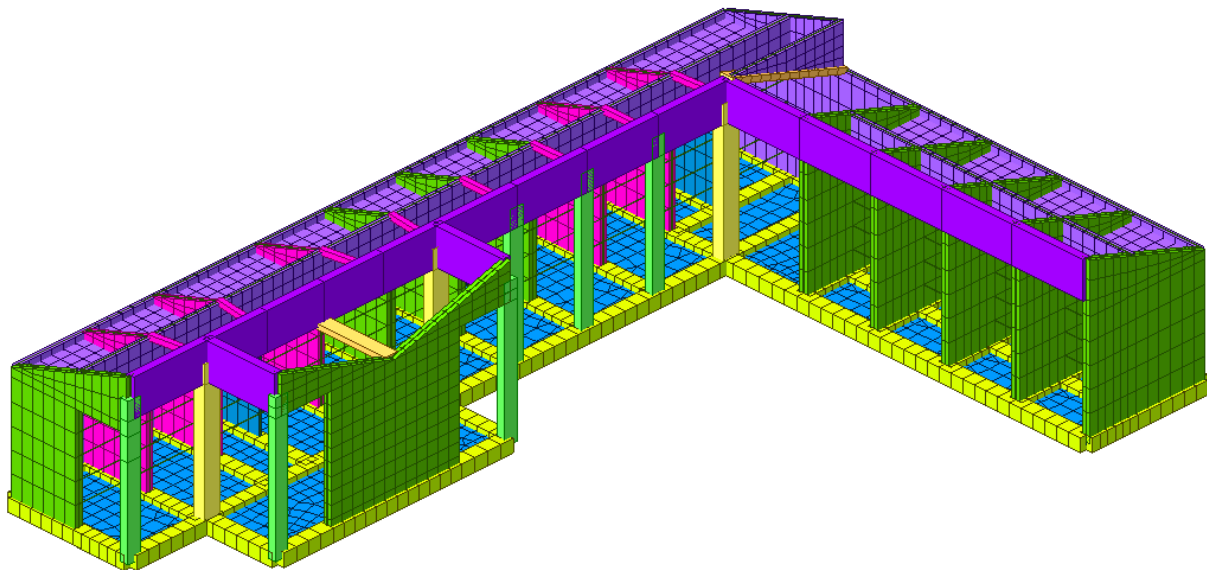


Figura 4 - Modello di calcolo

6. Precisazioni sul codice di calcolo utilizzato

Si forniscono di seguito le ulteriori indicazioni richieste dal punto 10.2 del testo unico delle Norme Tecniche per le Costruzioni (D.M. 17/01/2018)

L'analisi è stata condotta utilizzando il codice di calcolo MidasGen2019, versione (v2.1)

Il programma MidasGen è un codice di calcolo specifico per l'analisi e la verifica di strutture multipiano in cemento armato, che consente una modellazione tridimensionale della struttura. Il programma è prodotto dalla MIDAS Information Technology Co. Ltd ed è distribuito sul territorio nazionale dalla Harpaceas s.r.l. e specificamente indirizzata alla produzione di software per l'ingegneria civile. La casa produttrice cura direttamente il servizio di assistenza tecnica e rende disponibili sul suo sito Internet manuali operativi e documentazioni tecniche complete relativi a casi di prova, liberamente scaricabili, che consentono un controllo ed un riscontro sull'affidabilità e la robustezza del codice di calcolo.

Lo scrivente ha avuto modo di valutare, in base ad uno studio della documentazione fornita ed all'esame dei risultati ottenuti su strutture test significative, la robustezza ed affidabilità del codice utilizzato, di cui fa proprie le ipotesi di base e le modalità operative, che ritiene adeguate al contesto di utilizzo.

Lo scrivente fa inoltre propri i risultati forniti dal codice ed inseriti nella presente relazione di calcolo, che ha avuto modo di controllare sia attraverso le restituzioni sintetico tabellari e grafiche ed i filtri di autodiagnosica offerti dal codice, sia mediante riscontri di massima eseguiti a campione sui risultati delle analisi.

Ulteriori informazioni sulla Società produttrice possono ricavarsi dal sito ufficiale <http://midasuser.com/>

7. Criteri adottati per l'analisi sismica

La verifica alle azioni sismiche è stata condotta con il metodo dinamico per sovrapposizione modale.

E' stata messa in conto un'eccentricità sismica accidentale pari al 5% delle dimensioni in pianta dell'edificio.

Gli effetti delle azioni sismiche orizzontali e verticali sono valutati mediante analisi dinamica linearizzata e sovrapposizione dei contributi modali, utilizzando la tecnica degli spettri di risposta, con le modalità prescritte dalla normativa.

In aggiunta alle azioni sismiche legate ai modi naturali calcolati, sono stati inserite delle azioni sismiche di completamento modale. Il completamento modale introduce ulteriori modi di vibrazione che completano lo spettro già calcolato della sua parte complementare rispetto ai moti rigidi della struttura, e che raccolgono gli effetti dei modi a basso periodo trascurati dall'analisi modale. Il completamento modale svolge un ruolo particolarmente significativo nella valutazione degli effetti della componente verticale dell'accelerazione sismica che, tipicamente, tende ad eccitare prevalentemente i modi a basso periodo di vibrazione.

La formula di combinazione modale utilizzata è la nota CQC, in accordo con le normative vigenti.

Sono stati considerati i seguenti stati limite di verifica, per i quali la normativa fissa l'azione sismica con una data probabilità di superamento, in un periodo di riferimento dipendente dal tipo e dalla classe d'uso della costruzione:

-SLO: S.l. di Operatività sismica (probabilità di superamento 81%)

-SLD: S.l. di Danno sismico (probabilità di superamento 63%)

-SLV: S.l. di Salvaguardia della vita ovvero Ultimo sismico (probabilità di superamento 10%)

-SLC: S.l. di Collazzo sismico (probabilità di superamento 5%)

Per ciascuno degli stati limite indicati sono stati valutati i periodi di ritorno dell'azione sismica, tenendo conto della probabilità di superamento prescritta dalla norma e ricavando il periodo di riferimento per l'azione sismica in base al tipo di costruzione e alla classe d'uso.

In funzione dei periodi di ritorno e delle coordinate geografiche del sito, si valutano infine i parametri di pericolosità sismica per gli stati limite di interesse, estrapolando i valori dalle tabelle allegate alla normativa.

Coordinate sito:

Longitudine: 7.57657

Latitudine: 45.24675

Vita nominale (2.4.1)

Le azioni sismiche sono valutate in relazione al periodo di riferimento VR così definite:

$VR = VN \times CU$ (2.4.1).

dove **VN** indica la Vita Nominale i cui valori sono indicati nella Tab. 2.4.I.

Per la struttura in esame viene assunto $VN = 50$

Classe d'uso (2.4.2)

In base alla funzione della struttura, ai sensi del punto (2.4.2) la struttura in esame risulta viene assunta in Classe II.

Periodo di riferimento per l'azione sismica (2.4.3)

In funzione della Classe d'uso la tabella seguente indica il valore CU da prendere in considerazione.

Tab. 2.4.II – Valori del coefficiente d'uso CU

CLASSE D'USO	I	II	III	IV
COEFFICIENTE CU	0,7	1,0	1,5	2,0

Viene quindi assunto CU=1

Da quanto sopra risulta:

$$VR = VN \times CU \text{ cioè } = 50 \text{ anni.}$$

In base a quanto indicato in Allegato A) - NTC 08 si calcola il Periodo di ritorno con la formula:

$$T_R = -\frac{V_R}{\ln(1 - P_{VR})}$$

Noto T_R e la localizzazione geografica del sito tramite i valori di longitudine e latitudine, la figura seguente riporta i parametri sismici che saranno utilizzati per l'analisi della struttura.

Tali valori sono stati ricavati elaborando i dati forniti dal Reticolo di riferimento (Allegato B) partendo dai valori nei nodi prossimi al sito di costruzione.

Parametri indipendenti

STATO LIMITE	SLV
a_g	0.059 g
F_0	2.742
T_C^*	0.272 s
S_S	1.800
C_C	2.397
S_T	1.000
q	1.064

Parametri dipendenti

S	1.800
η	0.940
T_B	0.217 s
T_C	0.652 s
T_D	1.835 s

dove:

a_g : accelerazione orizzontale massima del terreno;

F_0 : valore massimo del fattore di amplificazione dello spettro;

T_C^* : periodo di inizio del tratto a velocità costante dello spettro in accelerazione;

P_{VR} : Probabilità di superamento nel periodo di riferimento VR.

Categoria del sottosuolo e topografica (3.2.2)

Categoria di sottosuolo

Si adotta una categoria di sottosuolo di riferimento pari a D.

Condizione topografica

Il sito in cui sarà realizzata la struttura è classificabile come T1.

Metodi di analisi e criteri di verifica (7.3)

La struttura in esame si può considerare di tipo dissipativo e per l'analisi sismica si adotterà il metodo dell'analisi lineare Dinamica.

Analisi del fattore di struttura q

Il fattore di struttura q da utilizzare per il calcolo dello spettro di progetto per lo stato limite ultimo, è definito come:

$$q = q_0 KR$$

dove:

q_0 valore massimo del fattore di struttura;

KR è un fattore che dipende dalle caratteristiche di regolarità dell'edificio che viene assunto pari a 1 essendo la struttura calcolata come Regolare in altezza.

Calcolo del fattore q_0

Tipologia strutturale (7.4.3.2)

La struttura è calcolata come "Non Dissipativa"

E' prudenzialmente adottato un $q_0 = 2$. Ne deriva per cui

$$\underline{q_{ND} = 2 \cdot 2/3 = 1.33}$$

Spettri di risposta (componenti orizz. e vert.) per lo stato limite: SLV

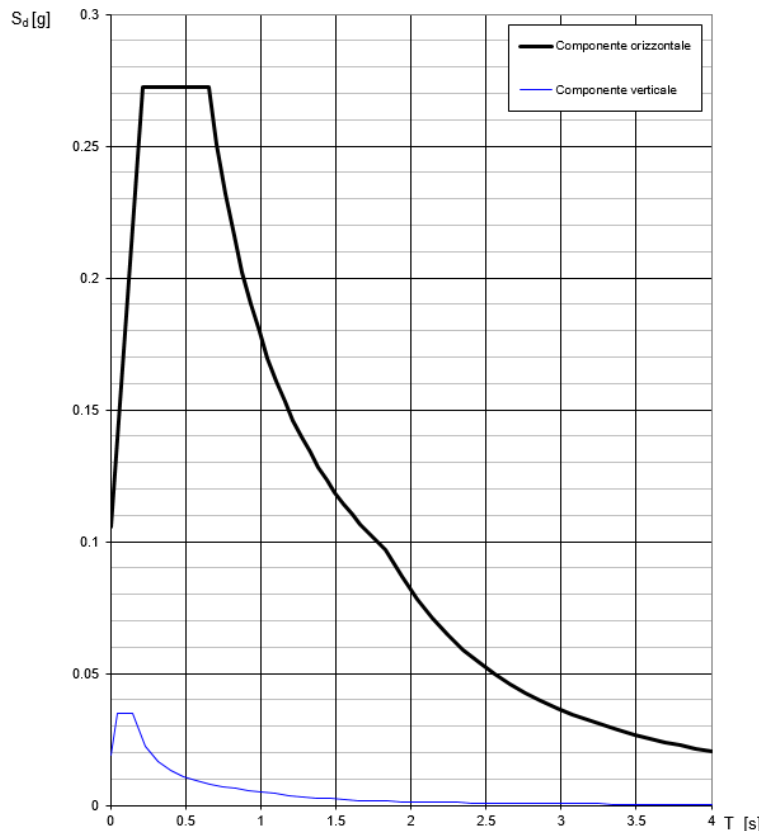


Figura 5 - Spettro di riferimento SLV

8. Modalità di progetto e verifica

Il progetto e la verifica degli elementi strutturali sono stati condotti col metodo degli stati limite in accordo con le norme tecniche e le modalità operative specificate nel citato D.M. del 17/01/2018, applicati in maniera unitaria ed integrale all'intero organismo strutturale.

Sono state considerate le combinazioni di azioni corrispondenti ai seguenti stati limite: quasi permanente, frequente, raro, ultimo non sismico, ultimo sismico e danno sismico.

Le verifiche delle sezioni sono condotte in campo elastico per gli stati limite di esercizio (verifiche tensionali e di fessurazione) e per le verifiche sismiche essendo la struttura calcolata come non dissipativa.

A tal fine è considerata nella verifica la defomazione limite pari all' 1.75/1000 per il calcestruzzo e l'1.86/1000 per l'acciaio per c.a.

Per ogni stato limite considerato, si è eseguito l'involucro delle azioni combinando le azioni base mediante fattori di combinazione assunti in valore minimo e in valore massimo, in accordo con le regole di combinazione prescritte dalla normativa. I fattori finali di combinazione per una particolare azione si ottengono come prodotto fra un fattore parziale Psi dipendente dal tipo di azione e un fattore parziale Gamma dipendente sia dall'azione che dalla combinazione di carico.

9. Analisi dei carichi

Di seguito è riportata l'analisi dei carichi dei solai costituenti l'edificio.

I livelli del fabbricato sono i seguenti.

Permanenti strutturali:

I permanenti strutturali sono valutati partendo dalle geometrie delle sezioni in funzione della densità del materiale.

La densità del calcestruzzo armato è posta pari a 2500 kg/mc.

Solette loculi

$$G_{1,1} = 2500 \text{ kg/mc} * 0.1 \text{ m} = 250 \text{ kg/mq}$$

Solette copertura

$$G_{1,2} = 2500 \text{ kg/mc} * 0.15 \text{ m} = 375 \text{ kg/mq}$$

Permanenti non strutturali:

Solette loculi

$$G_{2,1} = 2000 \text{ kg/mc} * 0.025 \text{ m} = 50 \text{ kg/mq}$$

Solette copertura

$$G_{2,2} = 150 \text{ kg/mq}$$

Tramezzi di separazione loculi

$$G_{2,3} = 1000 \text{ kg/mc} * 0.7 \text{ m} * 0.1 \text{ m} = 70 \text{ kg/m}$$

Lastra chiusura loculi in pietra

E' applicato un carico lineare sul bordo della soletta pari a:

$$G_{2,4} = 2700 \text{ kg/mc} * 0.025 \text{ m} * 0.7 \text{ m} \approx 50 \text{ kg/m}$$

Solette intermedie (voltini)

$$G_{2,5} = 2500 \text{ kg/mc} * 0.20 \text{ m} = 500 \text{ kg/mq}$$

Sovraccarico variabile loculi

E' posto un sovraccarico variabile di 250 kg/mq

Sovraccarico neve

Carico neve caratteristico al suolo

$$q_{sk} = 1.39 * (1 + (356/728)^2) = 1.72 \text{ kN/mq} * 0.8 = 1.37 \text{ kN/mq} = 1.5 \text{ kN/mq} = 150 \text{ kg/mq}$$

10. Carichi applicati sul modello numerico

Di seguito è illustrato il calcolo dei carichi applicati al modello di calcolo a partire dai carichi del paragrafo precedente

10.1. Solette loculi

Le solette intermedie dei loculi non sono modellate nel modello in termini di rigidezza, ma sono applicati i carichi agenti sui muri laterali principali. L'interasse di calcolo è pari a 3 m

$$G_1 = 250 \text{ kg/mq} * 3\text{m} = 750 \text{ kg/m}$$

$$G_{2,1} = 50 \text{ kg/mq} * 3\text{m} = 150 \text{ kg/m}$$

$$G_{2,3} = 70 \text{ kg/m} * 2 = 140 \text{ kg/m}$$

$$G_2 = 150 + 140 = 290 \text{ kg/m}$$

$$G_{2,4} = 50 \text{ kg/m} * 3\text{m} = 150 \text{ kg ,concentrato alle estremità del muro}$$

$$Q = 250 \text{ kg/mq} * 3\text{m} = 750 \text{ kg/m}$$

10.2. Solette intermedie (voltini)

Il carico è ripartito a metà tra i travi di bordo al di sopra dei pilastri e sulla trave al di sopra dei loculi

$$G_{2,5} = 375 \text{ kg/mq} * 2/2 = 375 \text{ kg/m}$$

10.3. Soletta copertura

$$G_1 = 375 \text{ kg/mq} * 5/2 = 937.5 \text{ kg/m}$$

$$G_{2,c1} = 150 \text{ kg/mq} * 5/2 = 375 \text{ kg/m}$$

$$G_{2,c2} (\text{lastra pietra copertura}) = 2700 * 0.03 * 0.4 = 35 \text{ kg/m}$$

$$G_2 = 410 \text{ kg/m}$$

$$N = 150 \text{ kg/mq} * 5\text{m} * \cos(16^\circ) / 2 = 360 \text{ kg/m}$$

10.4. Peso archi in c.a.

Nel modello è preso in considerazione come un carico concentrato sopra i pilastri ed i setti di competenza del tratto di arco in c.a. realizzato in opera che costituisce il motivo della facciata dei portici.

Tale carico è applicato come carico distribuito

sui pilastri relativi.

$$A (\text{area frontale arco}) = 2.3 \text{ mq}$$

$$P = 2500 \text{ kg/mc} * 2.3\text{mq} * 0.4\text{m} = 2300 \text{ kg}$$

11. Combinazioni di carico

Sono adottati i coeff. di combinazione della Cat. C

Tab. 2.5.I – Valori dei coefficienti di combinazione

Categoria/Azione variabile	Ψ_{0j}	Ψ_{1j}	Ψ_{2j}
Categoria A - Ambienti ad uso residenziale	0,7	0,5	0,3
Categoria B - Uffici	0,7	0,5	0,3
Categoria C - Ambienti suscettibili di affollamento	0,7	0,7	0,6

Ai fini delle verifiche degli stati limite, si definiscono le seguenti combinazioni delle azioni.

- Combinazione fondamentale, generalmente impiegata per gli stati limite ultimi (SLU):
 $\gamma_{G1} \cdot G_1 + \gamma_{G2} \cdot G_2 + \gamma_P \cdot P + \gamma_{Q1} \cdot Q_{k1} + \gamma_{Q2} \cdot Q_{k2} + \gamma_{Q3} \cdot Q_{k3} + \dots$ [2.5.1]
- Combinazione caratteristica, cosiddetta rara, generalmente impiegata per gli stati limite di esercizio (SLE) irreversibili:
 $G_1 + G_2 + P + Q_{k1} + \psi_{02} \cdot Q_{k2} + \psi_{03} \cdot Q_{k3} + \dots$ [2.5.2]
- Combinazione frequente, generalmente impiegata per gli stati limite di esercizio (SLE) reversibili:
 $G_1 + G_2 + P + \psi_{11} \cdot Q_{k1} + \psi_{22} \cdot Q_{k2} + \psi_{23} \cdot Q_{k3} + \dots$ [2.5.3]
- Combinazione quasi permanente (SLE), generalmente impiegata per gli effetti a lungo termine:
 $G_1 + G_2 + P + \psi_{21} \cdot Q_{k1} + \psi_{22} \cdot Q_{k2} + \psi_{23} \cdot Q_{k3} + \dots$ [2.5.4]
- Combinazione sismica, impiegata per gli stati limite ultimi e di esercizio connessi all'azione sismica E:
 $E + G_1 + G_2 + P + \psi_{21} \cdot Q_{k1} + \psi_{22} \cdot Q_{k2} + \dots$ [2.5.5]
- Combinazione eccezionale, impiegata per gli stati limite ultimi connessi alle azioni eccezionali A:
 $G_1 + G_2 + P + A_d + \psi_{21} \cdot Q_{k1} + \psi_{22} \cdot Q_{k2} + \dots$ [2.5.6]

Gli effetti dell'azione sismica saranno valutati tenendo conto delle masse associate ai seguenti carichi gravitazionali:

$$G_1 + G_2 + \sum_j \psi_{2j} Q_{kj} . \quad [2.5.7]$$

LIST OF LOAD COMBINATIONS

NUM	NAME	ACTIVE LOADCASE (FACTOR)	TYPE	LOADCASE (FACTOR)	LOADCASE (FACTOR)
1	SLU	Strength/Stress G1(1.300) + + N(0.750)	Add	G2(1.500) +	Q(1.500)
2	SLU1	Strength/Stress G1(1.300) + + N(1.500)	Add	G2(1.500) +	Q(1.050)
3	QP	Strength/Stress G1(1.000) +	Add	G2(1.000) +	Q(0.600)
4	CAR	Strength/Stress G1(1.000) + + N(0.500)	Add	G2(1.000) +	Q(1.000)
5	CAR1	Strength/Stress G1(1.000) + + N(1.000)	Add	G2(1.000) +	Q(0.700)
6	FREQ	Strength/Stress G1(1.000) +	Add	G2(1.000) +	Q(0.700)
7	FREQ1	Strength/Stress G1(1.000) + + N(0.500)	Add	G2(1.000) +	Q(0.600)
8	ENV_SLU	Strength/Stress SLU(1.000) +	Envelope	SLU1(1.000)	
9	ENV_CAR	Strength/Stress CAR(1.000) +	Envelope	CAR1(1.000)	
10	ENV_FREQ	Strength/Stress FREQ(1.000) +	Envelope	FREQ1(1.000)	
11	S1	Strength/Stress G1(1.000) + + X(1.000) +	Add	G2(1.000) + Y(0.300) +	Q(0.600) X(1.000)

			+ Y(0.300)
12	S2	Strength/Stress	Add G1(1.000) + X(1.000) + Y(-0.300) G2(1.000) + Y(0.300) + Q(0.600) X(1.000)
13	S3	Strength/Stress	Add G1(1.000) + X(1.000) + Y(0.300) G2(1.000) + Y(0.300) + Q(0.600) X(-1.000)
14	S4	Strength/Stress	Add G1(1.000) + X(1.000) + Y(-0.300) G2(1.000) + Y(0.300) + Q(0.600) X(-1.000)
15	S5	Strength/Stress	Add G1(1.000) + X(-1.000) + Y(0.300) G2(1.000) + Y(0.300) + Q(0.600) X(1.000)
16	S6	Strength/Stress	Add G1(1.000) + X(-1.000) + Y(-0.300) G2(1.000) + Y(0.300) + Q(0.600) X(1.000)
17	S7	Strength/Stress	Add G1(1.000) + X(-1.000) + Y(0.300) G2(1.000) + Y(0.300) + Q(0.600) X(-1.000)
18	S8	Strength/Stress	Add G1(1.000) + X(-1.000) + Y(-0.300) G2(1.000) + Y(0.300) + Q(0.600) X(-1.000)
19	S9	Strength/Stress	Add G1(1.000) + X(1.000) + Y(0.300) G2(1.000) + Y(-0.300) + Q(0.600) X(1.000)
20	S10	Strength/Stress	Add G1(1.000) + X(1.000) + Y(-0.300) G2(1.000) + Y(-0.300) + Q(0.600) X(1.000)
21	S11	Strength/Stress	Add G1(1.000) + X(1.000) + Y(0.300) G2(1.000) + Y(-0.300) + Q(0.600) X(-1.000)
22	S12	Strength/Stress	Add G1(1.000) + X(1.000) + Y(-0.300) G2(1.000) + Y(-0.300) + Q(0.600) X(-1.000)
23	S13	Strength/Stress	Add G1(1.000) + X(-1.000) + Y(0.300) G2(1.000) + Y(-0.300) + Q(0.600) X(1.000)
24	S14	Strength/Stress	Add G1(1.000) + X(-1.000) + Y(-0.300) G2(1.000) + Y(-0.300) + Q(0.600) X(1.000)
25	S15	Strength/Stress	Add G1(1.000) + X(-1.000) + Y(0.300) G2(1.000) + Y(-0.300) + Q(0.600) X(-1.000)
26	S16	Strength/Stress	Add G1(1.000) + X(-1.000) + Y(-0.300) G2(1.000) + Y(-0.300) + Q(0.600) X(-1.000)
27	S17	Strength/Stress	Add

		G1(1.000) +	G2(1.000) +	Q(0.600)
+		X(0.300) +	Y(1.000) +	X(1.000)
+		Y(0.300)		
<hr/>				
28	S18	Strength/Stress	Add	
		G1(1.000) +	G2(1.000) +	Q(0.600)
+		X(0.300) +	Y(1.000) +	X(1.000)
+		Y(-0.300)		
<hr/>				
29	S19	Strength/Stress	Add	
		G1(1.000) +	G2(1.000) +	Q(0.600)
+		X(0.300) +	Y(1.000) +	X(-1.000)
+		Y(0.300)		
<hr/>				
30	S20	Strength/Stress	Add	
		G1(1.000) +	G2(1.000) +	Q(0.600)
+		X(0.300) +	Y(1.000) +	X(-1.000)
+		Y(-0.300)		
<hr/>				
31	S21	Strength/Stress	Add	
		G1(1.000) +	G2(1.000) +	Q(0.600)
+		X(0.300) +	Y(-1.000) +	X(1.000)
+		Y(0.300)		
<hr/>				
32	S22	Strength/Stress	Add	
		G1(1.000) +	G2(1.000) +	Q(0.600)
+		X(0.300) +	Y(-1.000) +	X(1.000)
+		Y(-0.300)		
<hr/>				
33	S23	Strength/Stress	Add	
		G1(1.000) +	G2(1.000) +	Q(0.600)
+		X(0.300) +	Y(-1.000) +	X(-1.000)
+		Y(0.300)		
<hr/>				
34	S24	Strength/Stress	Add	
		G1(1.000) +	G2(1.000) +	Q(0.600)
+		X(0.300) +	Y(-1.000) +	X(-1.000)
+		Y(-0.300)		
<hr/>				
35	S25	Strength/Stress	Add	
		G1(1.000) +	G2(1.000) +	Q(0.600)
+		X(-0.300) +	Y(1.000) +	X(1.000)
+		Y(0.300)		
<hr/>				
36	S26	Strength/Stress	Add	
		G1(1.000) +	G2(1.000) +	Q(0.600)
+		X(-0.300) +	Y(1.000) +	X(1.000)
+		Y(-0.300)		
<hr/>				
37	S27	Strength/Stress	Add	
		G1(1.000) +	G2(1.000) +	Q(0.600)
+		X(-0.300) +	Y(1.000) +	X(-1.000)
+		Y(0.300)		
<hr/>				
38	S28	Strength/Stress	Add	
		G1(1.000) +	G2(1.000) +	Q(0.600)
+		X(-0.300) +	Y(1.000) +	X(-1.000)
+		Y(-0.300)		
<hr/>				
39	S29	Strength/Stress	Add	
		G1(1.000) +	G2(1.000) +	Q(0.600)
+		X(-0.300) +	Y(-1.000) +	X(1.000)
+		Y(0.300)		
<hr/>				
40	S30	Strength/Stress	Add	
		G1(1.000) +	G2(1.000) +	Q(0.600)
+		X(-0.300) +	Y(-1.000) +	X(1.000)
+		Y(-0.300)		
<hr/>				
41	S31	Strength/Stress	Add	
		G1(1.000) +	G2(1.000) +	Q(0.600)
+		X(-0.300) +	Y(-1.000) +	X(-1.000)
+		Y(0.300)		
<hr/>				
42	S32	Strength/Stress	Add	
		G1(1.000) +	G2(1.000) +	Q(0.600)
+		X(-0.300) +	Y(-1.000) +	X(-1.000)
+		Y(-0.300)		

43	ENV_SLV	Strength/Stress	Envelope	
		S1(1.000) +	S2(1.000) +	S3(1.000)
+		S4(1.000) +	S5(1.000) +	S6(1.000)
+		S7(1.000) +	S8(1.000) +	S9(1.000)
+		S10(1.000) +	S11(1.000) +	S12(1.000)
+		S13(1.000) +	S14(1.000) +	S15(1.000)
+		S16(1.000) +	S17(1.000) +	S18(1.000)
+		S19(1.000) +	S20(1.000) +	S21(1.000)
+		S22(1.000) +	S23(1.000) +	S24(1.000)
+		S25(1.000) +	S26(1.000) +	S27(1.000)
+		S28(1.000) +	S29(1.000) +	S30(1.000)
+		S31(1.000) +	S32(1.000)	

44	ENV_TOT	Strength/Stress	Envelope	
		SLU(1.000) +	SLU1(1.000) +	S1(1.000)
+		S2(1.000) +	S3(1.000) +	S4(1.000)
+		S5(1.000) +	S6(1.000) +	S7(1.000)
+		S8(1.000) +	S9(1.000) +	S10(1.000)
+		S11(1.000) +	S12(1.000) +	S13(1.000)
+		S14(1.000) +	S15(1.000) +	S16(1.000)
+		S17(1.000) +	S18(1.000) +	S19(1.000)
+		S20(1.000) +	S21(1.000) +	S22(1.000)
+		S23(1.000) +	S24(1.000) +	S25(1.000)
+		S26(1.000) +	S27(1.000) +	S28(1.000)
+		S29(1.000) +	S30(1.000) +	S31(1.000)
+		S32(1.000)		

12. Risultati analisi

Di seguito sono riportati i risultati dell'analisi dinamica della struttura:

Node	Mode	UX		UY		UZ		RX		RY		RZ					
EIGENVALUE ANALYSIS																	
Mode No	Frequency (rad/sec)	Frequency (cycle/sec)				Period (sec)		Tolerance									
1	30.1700			4.8017		0.2083		0.0000e+000									
2	34.2852			5.4567		0.1833		0.0000e+000									
3	40.8815			6.5065		0.1537		0.0000e+000									
4	47.7755			7.6037		0.1315		0.0000e+000									
5	63.9785			10.1825		0.0982		0.0000e+000									
6	64.6428			10.2882		0.0972		0.0000e+000									
7	86.6952			13.7980		0.0725		0.0000e+000									
8	93.5432			14.8879		0.0672		0.0000e+000									
9	158.3670			25.2049		0.0397		0.0000e+000									
10	173.1876			27.5637		0.0363		0.0000e+000									
MODAL PARTICIPATION MASSES PRINTOUT																	
Mode No	TRAN-X			TRAN-Y			TRAN-Z			ROTN-X		ROTN-Y		ROTN-Z			
	MASS(%)	SUM(%)	MASS(%)	SUM(%)	MASS(%)	SUM(%)	MASS(%)	SUM(%)	MASS(%)	SUM(%)	MASS(%)	SUM(%)	MASS(%)	SUM(%)			
1	39.8525	39.8525	3.1144	3.1144	0.0000	0.0000	2.0362	2.0362	35.2936	35.2936	20.9062	20.9062	20.9062	20.9062			
2	1.0700	40.9225	12.7517	15.8662	0.0000	0.0000	7.8793	9.9156	0.7283	36.0219	0.0197	20.9259	20.9259	20.9259	20.9259		
3	5.8984	46.8209	28.5536	44.4198	0.0000	0.0000	32.7909	42.7065	4.4179	40.4397	2.3788	23.3047	23.3047	23.3047	23.3047		
4	10.8253	57.6462	0.6796	45.0994	0.0000	0.0000	0.5142	43.2207	7.3067	47.7464	21.0348	44.3395	44.3395	44.3395	44.3395		
5	1.5709	59.2171	2.7617	47.8611	0.0000	0.0000	0.0028	43.2236	0.4682	48.2146	4.1902	48.5297	48.5297	48.5297	48.5297		
6	1.7463	60.9633	2.7844	50.6455	0.0000	0.0000	0.0645	43.2881	0.5383	48.7529	0.0002	48.5299	48.5299	48.5299	48.5299		
7	11.9440	72.9074	6.2302	56.8757	0.0000	0.0000	0.2725	43.5605	0.0289	48.7818	30.9401	79.4700	79.4700	79.4700	79.4700		
8	3.7071	76.6145	29.3983	86.2740	0.0000	0.0000	0.2221	43.7826	0.0007	48.7825	2.2973	81.7674	81.7674	81.7674	81.7674		
9	21.7522	98.3668	1.3217	87.5957	0.0000	0.0000	1.7482	45.5307	35.5833	84.3658	4.1924	85.9598	85.9598	85.9598	85.9598		
10	0.4785	98.8453	11.4242	99.0199	0.0000	0.0000	27.3190	72.8497	3.1884	87.5542	1.1675	87.1273	87.1273	87.1273	87.1273		

La massa partecipante dei modi considerati risulta maggiore dell'85%.

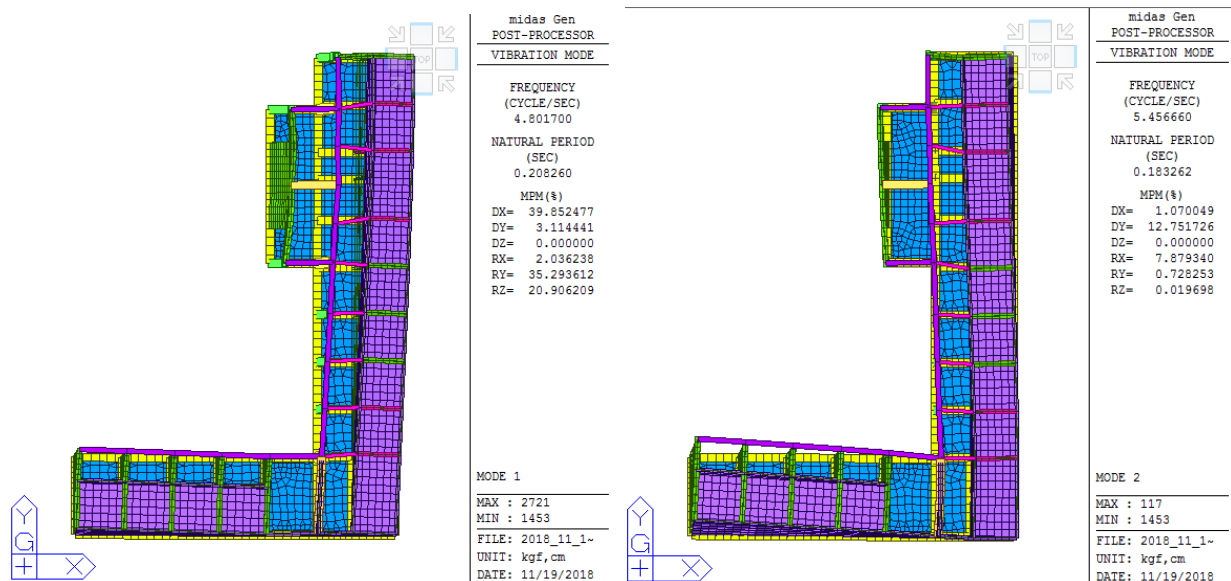


Figura 6 - Modo di vibrare n. 1-2

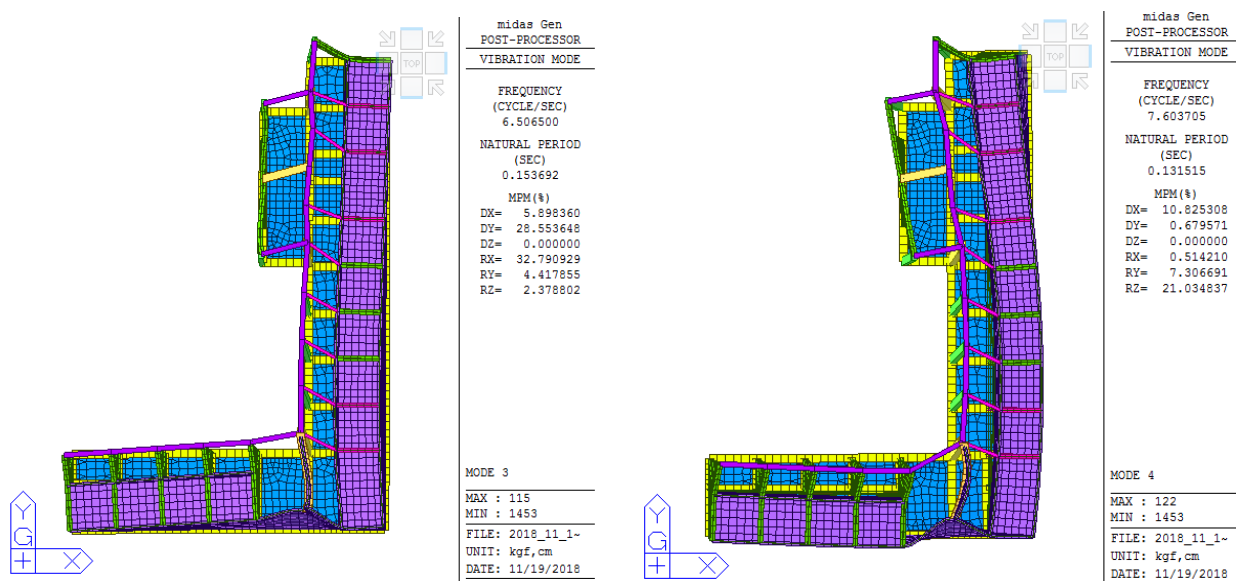


Figura 7 - Modi vibrare n. 3-4

SUMMATION OF REACTION FORCES PRINTOUT					
	Load	FX (kgf)	FY (kgf)	FZ (kgf)	
	G1	-0	-0	1002837	
	G2	-0	-0	141543	
	Q	-0	0	155550	
	N	-0	0	36478	
	X(RS)	169622	64637	0	
	Y(RS)	64098	162728	0	

Figura 8 - Reazioni vincolari per caso di carico

13. Verifiche SLU

13.1. Verifica travi portico

Di seguito è riportato l'inviluppo delle sollecitazioni delle travi

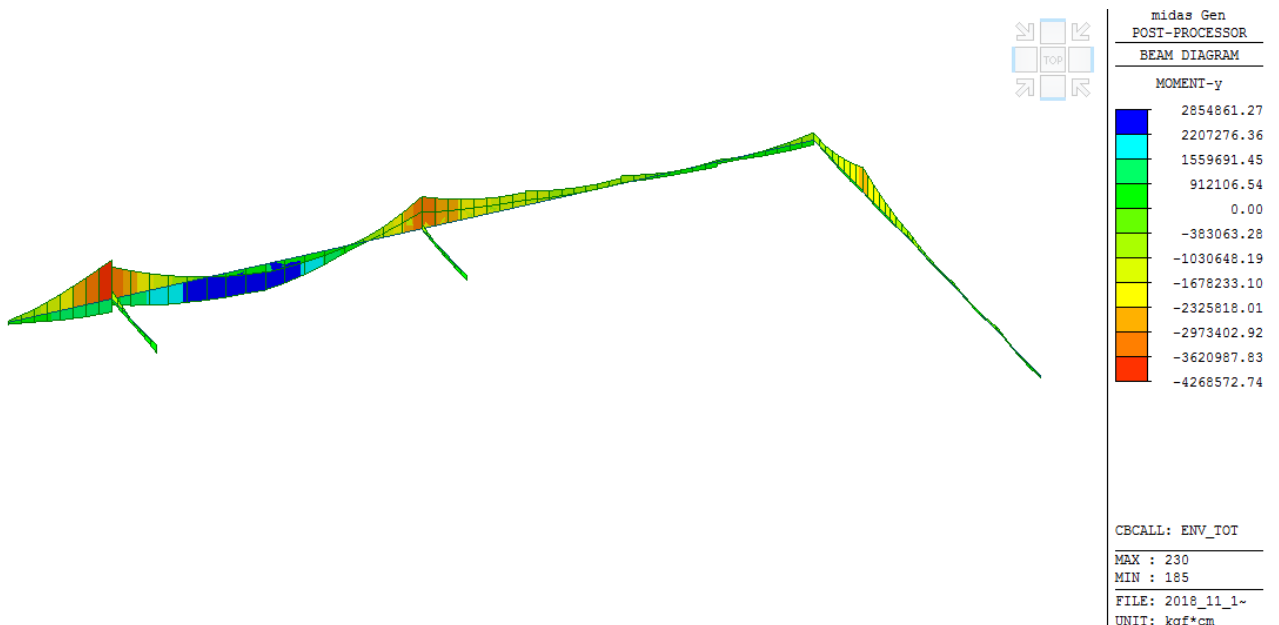


Figura 9 - Inviluppo my SLU

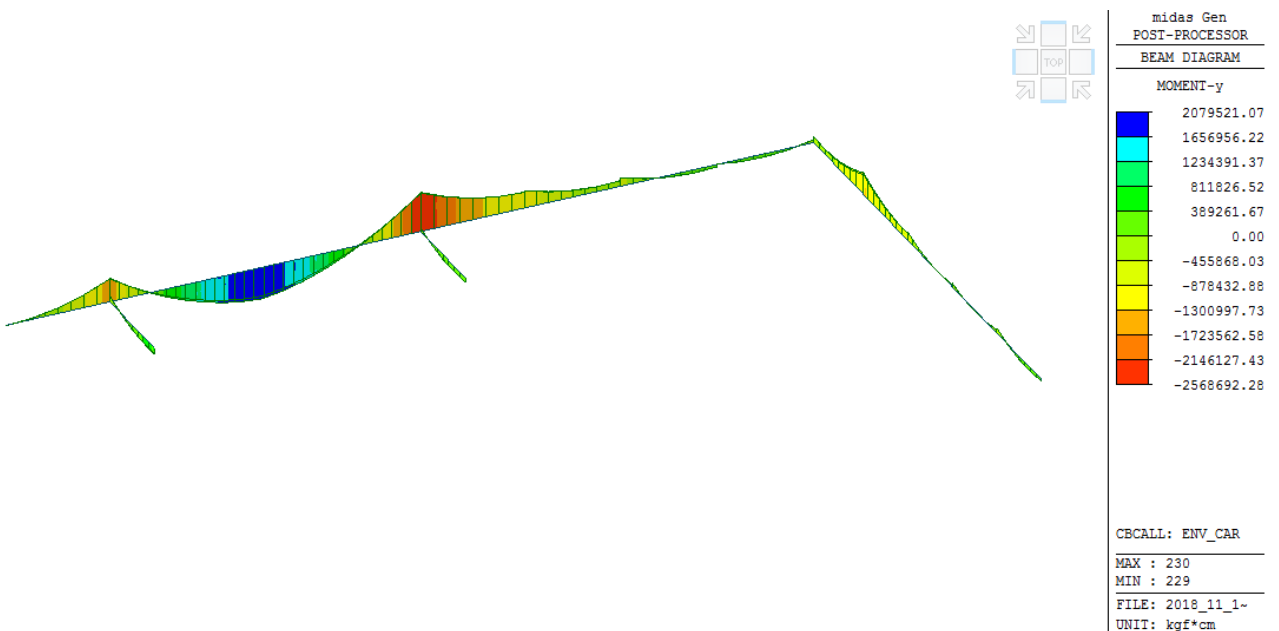


Figura 10 - Inviluppo my SLE Caratt.

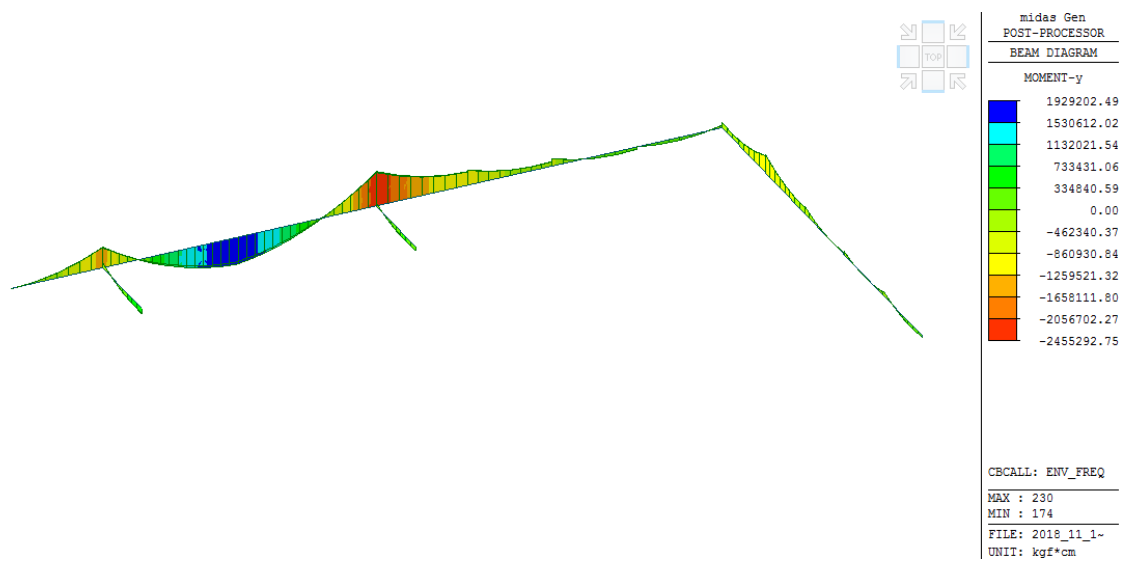


Figura 11 - Inviluppo my SLE Freq.

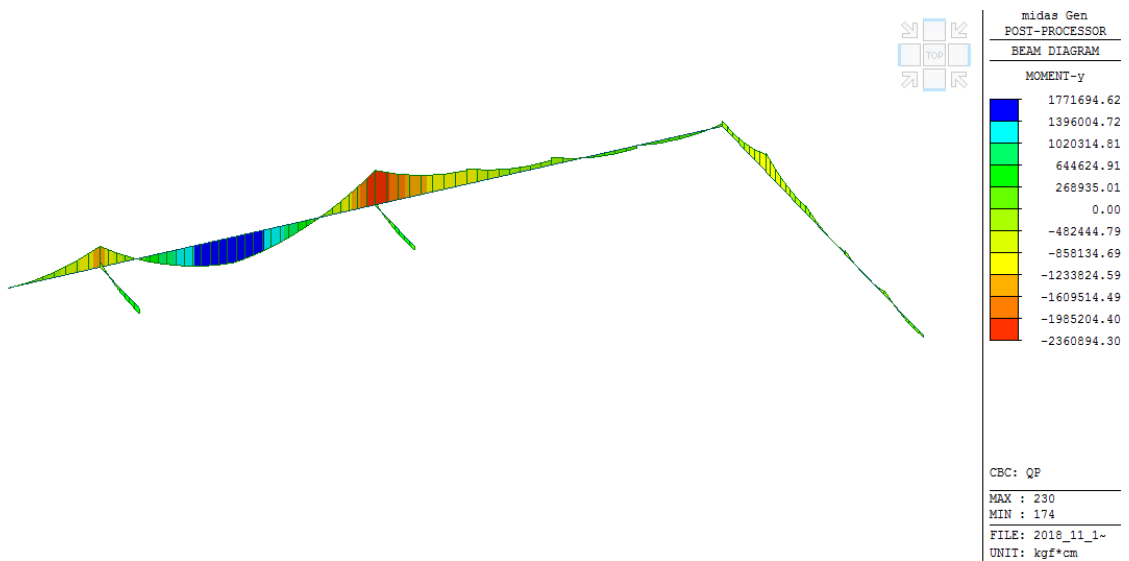


Figura 12 - Inviluppo SLE Quasi perm.

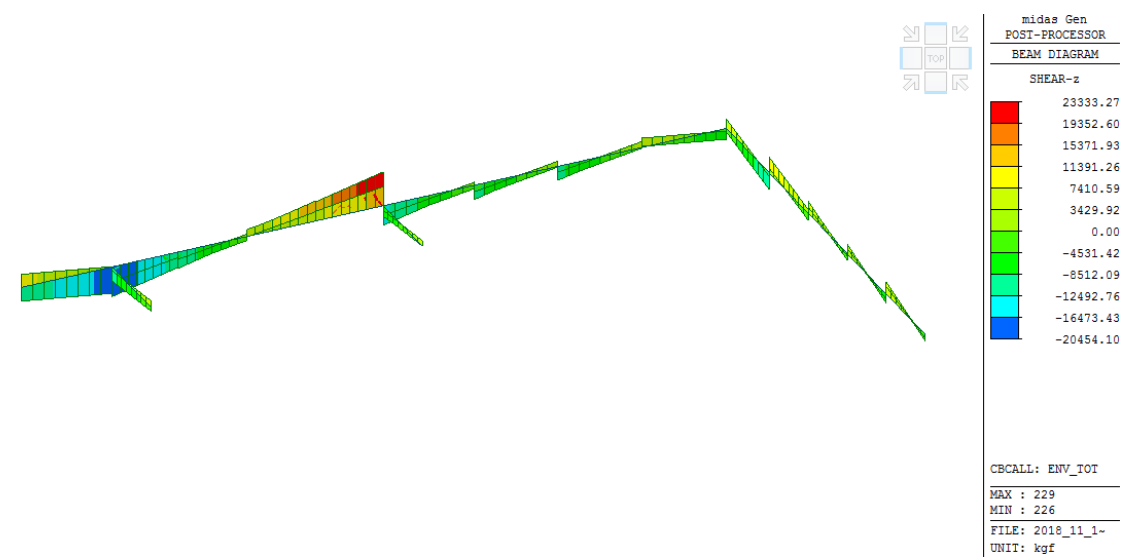


Figura 13 - Inviluppo Vz SLU-SLV

Tipo verifica : stati limite - pressoflessione deviata.
Unità di misura generiche: daN; cm; daNcm; daN/cm2; d in mm; deformazioni*1000.
ferri : diametri in mm; aree in cm2.

Simboli:

Vert. = contorno_vertice del CLS; d = diametro;
S = Sigma (tensioni sui materiali);
D = Deformazioni x 1000 (epsilon);
Ve = colonna che indica se la verifica e' soddisfatta;

MATERIALI

Calcestruzzo: Rck = 300. ; fck = 249. ; fcd = 141.1 (.35%)
Acciaio : Tipo= B450C ; ftk = 4500. ; fyk = 4500. ; ftd = 3913.04 (6.75%)

SEZIONE

L'asse Z e' rivolto verso destra, l'asse Y e' rivolto verso l'alto.

Tipo sezione: RETTANGOLARE

Cls:	Acciaio lento:							
	vert.	Z	Y	ferro	Z	Y	d[mm]	Af[cm2]
1- 1	-15.	0.		1	12.	127.	16.	2.0106
1- 2	-15.	130.		2	-12.	127.	16.	2.0106
1- 3	15.	130.		3	12.	3.	16.	2.0106
1- 4	15.	0.		4	4.	3.	20.	3.1416
				5	-4.	3.	20.	3.1416
				6	-12.	3.	16.	2.0106

SOLLECITAZIONI AGENTI

Sforzi normali applicati in z= 0. ; y= 65. (baricentro CLS)
Convenzioni: N + trazione; Mz + fib.inferiori tese; My + fib.sinistra tese.
N. | N | Mz | My | Sol: ultima/agente = fs (>=1 OK)
1 | 0. | 3553418. | 0. |

RISULTATI

Piani di equilibrio (eps= muz * y +muy * z + lam):

Sol.	cls	muz	muy	lambda
1.		-0.00001514687	0.	.00151240344

Deformazioni massime sui materiali:

sol	cls	Acciaio lento									
		vert.	D	cls	S	cls	D	ferri	S	ferri	Ve
1	1- 2	-.4567		-57.1	si		3.	1.467		2933.9	si

Verifica a taglio DM18

Calcestruzzo

$R_{ck} =$	300 kg/cm ²	$f_{yk} =$	4500 kg/cm ²
$f_{ck} =$	249 kg/cm ²	$\gamma_s =$	1.15
$f_{ctk} =$	18.2 kg/cm ²	$f_{yd} =$	3913 kg/cm ²
$\gamma_c =$	1.5	$f_{cd} =$	141 kg/cm ²
$\alpha_{cc} =$	0.85	$f'_{cd} =$	71 kg/cm ²
		$f_{ctd} =$	12.2 kg/cm ²

Azioni agente

$V_{Sd} =$	25000 kg	$N_{Sd+} =$	0 kg
$N_{Sd} =$	0 kg	$N_{Sd-} =$	0 kg

Dati sezione

$b_w =$	30 cm
$h =$	130 cm
$c =$	4 cm copriferro
$d =$	126 cm

$\sigma_{cp} =$	0.0 kg/cm ²	$\alpha_c =$	1.00
$\sigma_{cp(+)} =$	0.0 kg/cm ²	$\alpha_{c(+)} =$	1.00
$\sigma_{cp(-)} =$	0.0 kg/cm ²	$\alpha_{c(-)} =$	1.00

Armature disposte

Staffe	$\theta =$	40 °
	$\alpha =$	90 °
nb	ϕ	A_{sw}
2	8	1.00
		0.00
	$A_{sw} =$	1.00 cm ²
	$s =$	20 cm

Capacità portante a taglio $V_{Rd} = 26441$ kg VERIFICATO

a) Taglio compressione

$$V_{Rcd} = 118182 \text{ kg}$$

$$V_{Rcd(+)} = 118182 \text{ kg}$$

$$V_{Rcd(-)} = 118182 \text{ kg}$$

b) Crisi armatura di parete

$$V_{Rsd} = 26441 \text{ kg}$$

13.2. Verifica trave compluvio copertura

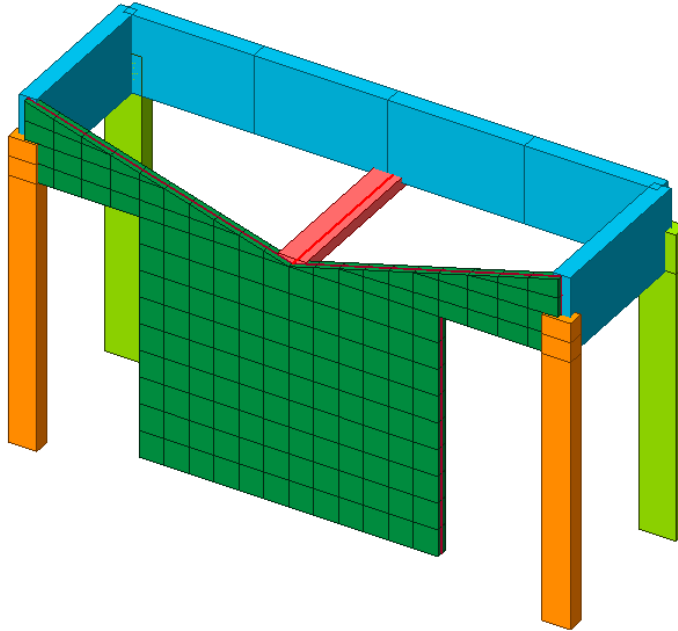


Figura 14 - Individuazione trave copertura

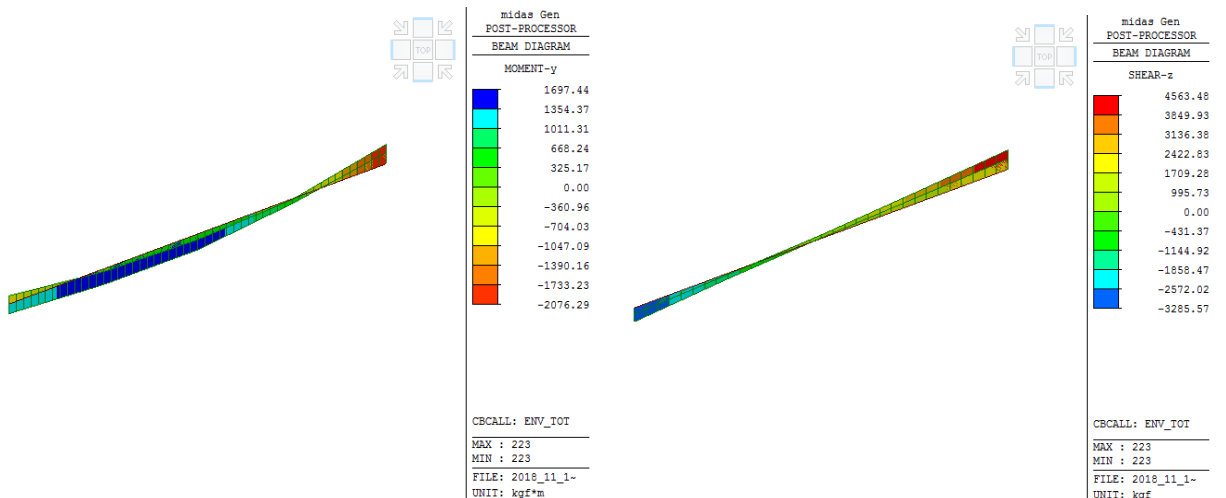
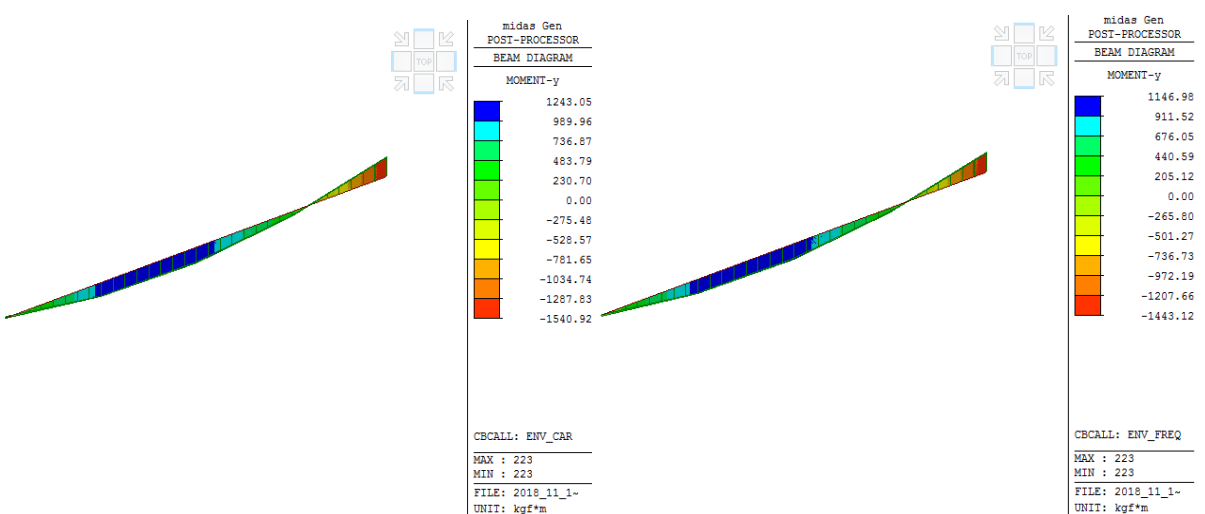


Figura 15 - Sollecitazioni agenti SLU-SLV



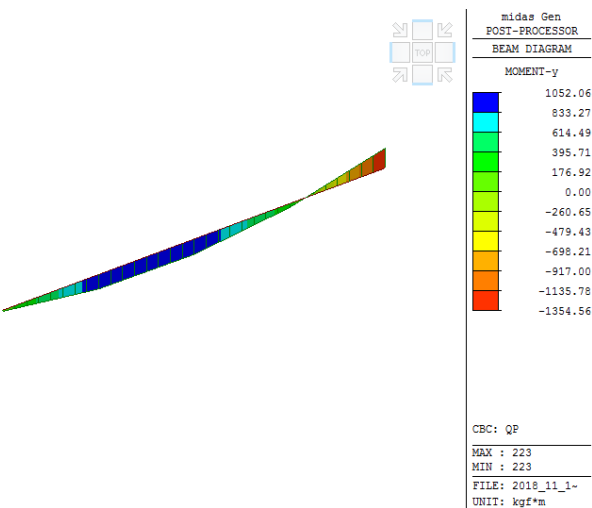


Figura 16 - Sollecitazioni SLE

VERIFICA SEZIONE RETTANGOLARE		SEZIONE	40x20
PRESSOFLESSIONE RETTA			
d.m. 17/01/2018			
Calcestruzzo			
FC	1	Fattore di confidenza cls (solo esistente)	
R _{ck}	300 kg/cm ²	Resistenza cubica a compressione	
g _c	1.5	Coeff. sicurezza calcestruzzo	
a _{cc}	0.85	Fattore di durata carico	
f _{cd}	141 kg/cm ²	Resistenza di progetto a compressione	
Acciaio			
FC	1	Fattore di confidenza acciaio (solo esistente)	
f _{yk}	4500 kg/cm ²	Tensione di snervamento	
g _s	1.15	Coeff. sicurezza acciaio	
f _{yd}	3913 kg/cm ²	Tensione di progetto	
Sezione			
b	40 cm	Base	
h	20 cm	Altezza	
c	4 cm	Copriferro da asse armatura a lembo compresso	
Armature			
Strato	y _i	n _b	f
	[cm]	[-]	[mm]
1	4.0	4	12
2	4.0		
3			
4			
5	16.0		
6	16.0	4	12
			4.5
VERIFICA SLU			
N _{ed,SLU}	0 kg	Sforzo normale agente (+ compr.)	X _{SLU} 3.95 cm
Y _{Ned}	10 cm	Eccentricità sforzo normale	
M _{Ed,SLU}	2100 kg m	Momento flettente agente	
M _{Rd}	2548 kg m	M _{Ed} /M _{Rd} = 0.82 ≤ 1	VERIFICATO
VERIFICA SLE			
M _{Ed,car}	1550 kgm	Coeff. Omogenizzazione	Asse neutro SLE
M _{Ed,freq}	1450 kgm	n 6.68	X _{SLE,car} 4.19 cm
M _{Ed,qp}	1360 kgm	n 6.68	X _{SLE,freq} 4.19 cm
		n 15.00	X _{SLE,qp} 5.52 cm
Verifica tensioni in esercizio			
σ _{c,car}	125.0 kg/cm ²	σ _{c,lim}	149.4 kg/cm ²
σ _{s,max,car}	2353 kg/cm ²	σ _{s,lim}	3600 kg/cm ²
σ _{c,qp}	76.1 kg/cm ²	σ _{c,lim}	112.1 kg/cm ²
σ _{s,max,qp}	2171 kg/cm ²	σ _{s,lim}	3600 kg/cm ²
Verifica fessurazione			
M ₁	819 kgm	Momento prima fessurazione	
σ _{s,max,freq}	2201 kg/cm ²		
σ _{s,max,qp}	2171 kg/cm ²		
W _{freq}	0.139 mm	w _{lim} = 0.40 mm	VERIFICATO
W _{qp}	0.161 mm	w _{lim} = 0.30 mm	VERIFICATO

Verifica a taglio DM18

Calcestruzzo

$R_{ck} =$	300 kg/cm ²	$f_{yk} =$	4500 kg/cm ²
$f_{ck} =$	249 kg/cm ²	$\gamma_s =$	1.15
$f_{ctk} =$	18.2 kg/cm ²	$f_{yd} =$	3913 kg/cm ²
$\gamma_c =$	1.5	$f_{cd} =$	141 kg/cm ²
$\alpha_{cc} =$	0.85	$f'_{cd} =$	71 kg/cm ²
		$f_{ctd} =$	12.2 kg/cm ²

Azioni agente

$V_{Sd} =$	5000 kg	$N_{Sd+} =$	0 kg
$N_{Sd} =$	0 kg	$N_{Sd-} =$	0 kg

Dati sezione

$b_w =$	40 cm
$h =$	20 cm
$c =$	4 cm copriferro
$d =$	16 cm

$\sigma_{cp} =$	0.0 kg/cm ²	$\alpha_c =$	1.00
$\sigma_{cp(+)} =$	0.0 kg/cm ²	$\alpha_{c(+)} =$	1.00
$\sigma_{cp(-)} =$	0.0 kg/cm ²	$\alpha_{c(-)} =$	1.00

Armature disposte

Staffe	$\theta =$	45 °
	$\alpha =$	90 °
nb	ϕ	A_{sw}
2	8	1.00
2	8	1.00
	$A_{sw} =$	2.00 cm ²
	$s =$	20 cm

Capacità portante a taglio	$V_{Rd} =$	5635 kg	VERIFICATO
----------------------------	------------	---------	------------

a) Taglio compressione

$$V_{Rcd} = 20318 \text{ kg}$$

$$V_{Rcd(+)} = 20318 \text{ kg}$$

$$V_{Rcd(-)} = 20318 \text{ kg}$$

b) Crisi armatura di parete

$$V_{Rsd} = 5635 \text{ kg}$$

13.3. Trave copertura triangolare

E' di seguito riportato il calcolo della trave triangolare generata dall'intersezione della falda della manica laterale con la trave del portico.

Di seguito sono riportati i carichi sulla sezione in c.a.

Il peso proprio della trave è variabile ed è pari a:

$$G_1 = 2500 \text{ kg/mc} * 0.4\text{m} = 1000 \text{ kg/mq}$$

$$G_{1,tr} = 0.15\text{m} * 0.2\text{m} * 2500 \text{ kg/mc} = 75 \text{ kg/m}$$

$$G_{1,a} = 1000 * 0.3\text{m} + 75 = 375 \text{ kg/m}$$

$$G_{1,b} = 1000 * 1.6\text{m} + 75 = 1675 \text{ kg/m}$$

$$G_{1,cop} = 937.5 \text{ kg/m}$$

$$G_{2,cop} = 410 \text{ kg/m}$$

$$Q_{,cop} = 360 \text{ kg/m}$$

Di seguito sono riportate le sollecitazioni allo SLU

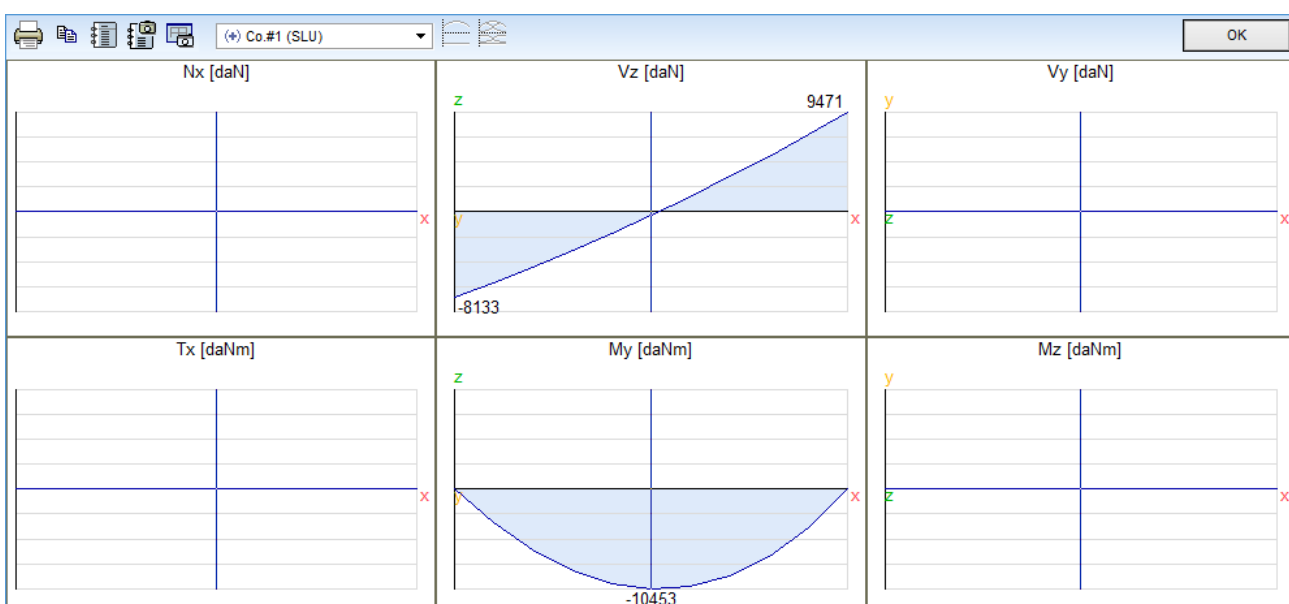


Figura 17 - Sollecitazioni SLU trave triangolare

La sezione di verifica nella mezzeria presenta un'altezza pari a 90 cm. Di seguito ne è riportata la verifica a flessione

Tipo verifica : stati limite - pressoflessione deviata.

Unità di misura generiche: daN; cm; daNcm; daN/cm²; d in mm; deformazioni*1000.
ferri : diametri in mm; aree in cm².

Simboli:

Vert. = contorno_vertice del CLS; d = diametro;
S = Sigma (tensioni sui materiali);
D = Deformazioni x 1000 (epsilon);
Ve = colonna che indica se la verifica e' soddisfatta;

MATERIALI

Calcestruzzo: Rck = 300. ; fck = 249. ; fcd = 141.1 (.35%)
Acciaio : Tipo= B450C ; ftk = 4500. ; fyk = 4500. ; ftd = 3913.04 (6.75%)

SEZIONE

L'asse Z e' rivolto verso destra, l'asse Y e' rivolto verso l'alto.

Tipo sezione: a L (4)

Clz: Acciaio lento:

vert.	z	y	ferro	z	y	d[mm]	Af[cm ²]
1- 1	-15.	90.	1	-12.	3.	14.	1.5394
1- 2	15.	90.	2	2.7	3.	14.	1.5394
1- 3	15.	15.	3	17.3	3.	14.	1.5394
1- 4	35.	15.	4	32.	3.	14.	1.5394
1- 5	35.	0.	5	-12.	12.	14.	1.5394
1- 6	-15.	0.	6	2.7	12.	14.	1.5394
			7	17.3	12.	14.	1.5394
			8	32.	12.	14.	1.5394
			9	12.	87.	14.	1.5394
			10	-12.	87.	14.	1.5394

SOLLECITAZIONI AGENTI

Sforzi normali applicati in z= 2.5 ; y= 41.25 (baricentro CLS)

Convenzioni: N + trazione; Mz + fib.inferiori tese; My + fib.sinistra tese.

N.	N	Mz	My	Sol: ultima/agente = fs (>=1 OK)
1	0.	1200000.	0.	

RISULTATI

Piani di equilibrio (eps= muz * y +muy * z + lam):

Sol.	muz	muy	lambda
1.	-.00001285926	-.00001143715	.00086675671

Deformazioni massime sui materiali:

sol	vert.	D	cls	S	cls	Ve	Acciaio lento				
							ferro	D	ferri	S	ferri
1	1- 2		-.4621		-57.7	si	1.	.9654		1930.8	si

Verifica a taglio

La verifica a taglio è svolta nella sezione di minor altezza. E' considerata una sezione di 30x30 cm.

La trave è suddivisa in due campi di staffe. Nel primo campo fino a 150 cm a partire dal lato di altezza minore è armata con staffe φ8/10. Oltre i 150 cm dal lato di altezza minore è armata con φ8/20

Verifica a taglio DM18

Calcestruzzo

R_{ck} =	300	kg/cm ²
f_{ck} =	249	kg/cm ²
f_{ctk} =	18.2	kg/cm ²
γ_c =	1.5	
α_{cc} =	0.85	

Acciaio

f_{yk} =	4500	kg/cm ²
γ_s =	1.15	
f_{yd} =	3913	kg/cm ²
f_{cd} =	141	kg/cm ²
f_{cd} =	71	kg/cm ²
f_{ctd} =	12.2	kg/cm ²

Azioni agente

V_{Sd} =	8200	kg	N_{Sd+} =	0	kg
N_{Sd} =	0	kg	N_{Sd-} =	0	kg

Dati sezione

b_w =	30	cm
h =	30	cm
c =	4	cm copriferro
d =	26	cm
σ_{cp} =	0.0	kg/cm ²
$\sigma_{cp(+)}$ =	0.0	kg/cm ²
$\sigma_{cp(-)}$ =	0.0	kg/cm ²
α_c =	1.00	
$\alpha_{c(+)}$ =	1.00	
$\alpha_{c(-)}$ =	1.00	

Armature disposte

<u>Staffe</u>	$\theta =$	45 °
	$\alpha =$	90 °

nb	ϕ	A_{sw}
2	8	1.00
0	0	0.00

$A_{sw} = 1.00 \text{ cm}^2$

$s = 10 \text{ cm}$

<u>Diag.</u>	$\theta =$	45 °
--------------	------------	------

nb	ϕ	A_{sw}
0	5	0.00
0	10	0.00

$A_{sp} = 0.00 \text{ cm}^2$

$s = 20 \text{ cm}$

Capacità portante a taglio

$V_{Rd} = 9156 \text{ kg}$ verificato

a) Taglio compressione

V_{Rcd} =	24763	kg
$V_{Rcd(+)}$ =	24763	kg
$V_{Rcd(-)}$ =	24763	kg

b) Crisi armatura di parete

V_{Rsd} =	9156	kg
-------------	------	----

13.4. Verifica solette loculi sp. 10cm

Le solette sono calcolate come appoggiate su tre lati. E' considerata una luce massima pari a 3m.

Di seguito si riportano le sollecitazioni di calcolo

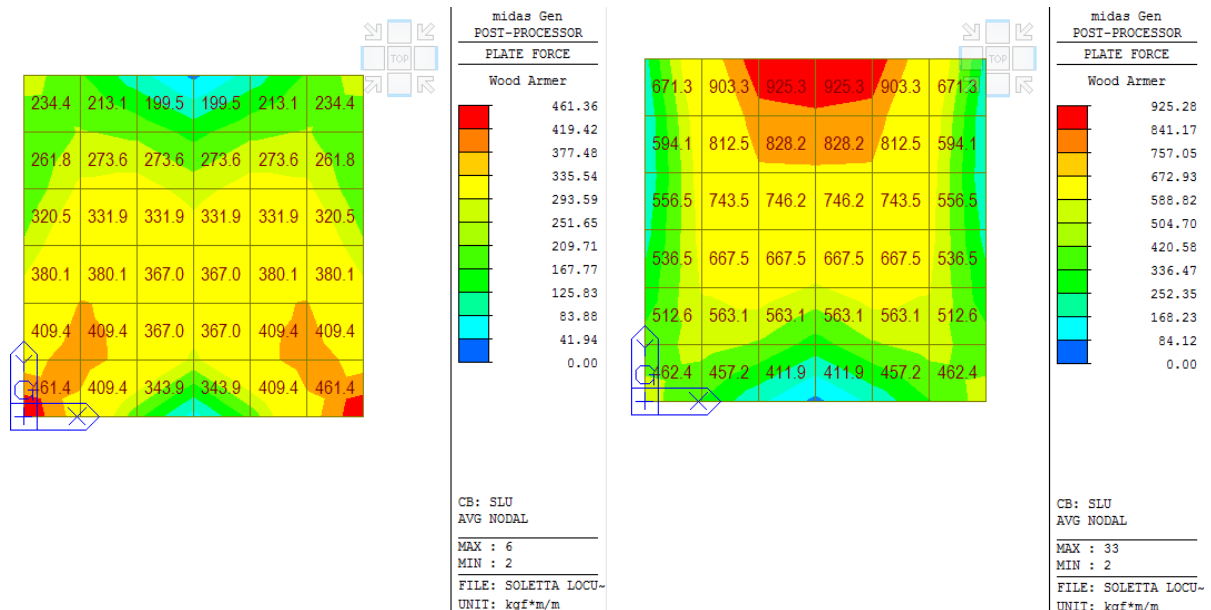


Figura 18 - Sollecitazioni agenti soletta loculi

E' disposta una rete diametro 10mm passo 150x150mm. Di seguito sono riportate le verifiche.

VERIFICA SEZIONE RETTANGOLARE

SEZIONE

100x10

PRESSOFLESSIONE RETTA

d.m. 17/01/2018

Calcestruzzo

FC	1	Fattore di confidenza cls (solo esistente)
R_{ck}	300 kg/cm ²	Resistenza cubica a compressione
g_c	1.5	Coeff. sicurezza calcestruzzo
a_{cc}	0.85	Fattore di durata carico
f_{cd}	141 kg/cm ²	Resistenza di progetto a compressione

Acciaio

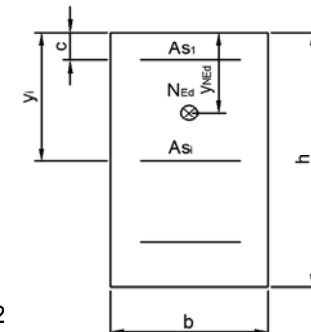
FC	1	Fattore di confidenza acciaio (solo esistente)
f_{yk}	4500 kg/cm ²	Tensione di snervamento
g_s	1.15	Coeff. sicurezza acciaio
f_{yd}	3913 kg/cm ²	Tensione di progetto

Sezione

b	100 cm	Base
h	10 cm	Altezza
c	4 cm	Copriferro da asse armatura a lembo compresso

Armature

Strato	y_i	n_b	f	A
	[cm]	[-]	[mm]	[cm ²]
1	4.0			0.00
2	4.0			0.00
3				0.00
4				0.00
5	6.0			0.00
6	6.0	6.7	10	5.23



VERIFICA SLU

Asse neutro SLU

$N_{ed,SLU}$	0 kg	Sforzo normale agente (+ compr.)	x_{SLU}	1.79 cm
y_{NEd}	5 cm	Eccentricità sforzo normale		
$M_{Ed,SLU}$	925 kg m	Momento flettente agente		
M_{Rd}	1075 kg m	$M_{Ed}/M_{Rd} = 0.86 \leq 1$		VERIFICATO

VERIFICA SLE

Ceoff. Omogenizzazione

Asse neutro SLE

$M_{Ed,car}$	672 kgm	n	6.68	$x_{SLE,car}$	1.73 cm
$M_{Ed,freq}$	595 kgm	n	6.68	$x_{SLE,freq}$	1.73 cm
$M_{Ed,qp}$	570 kgm	n	15.00	$x_{SLE,qp}$	2.38 cm

Verifica tensioni in esercizio

$\sigma_{c,car}$	143.4 kg/cm ²	$\sigma_{c,lim}$	149.4 kg/cm ²	VERIFICATO
$\sigma_{s,max,car}$	2366 kg/cm ²	$\sigma_{s,lim}$	3600 kg/cm ²	VERIFICATO
$\sigma_{c,qp}$	91.9 kg/cm ²	$\sigma_{c,lim}$	112.1 kg/cm ²	VERIFICATO
$\sigma_{s,max,qp}$	2091 kg/cm ²	$\sigma_{s,lim}$	3600 kg/cm ²	VERIFICATO

Verifica fessurazione

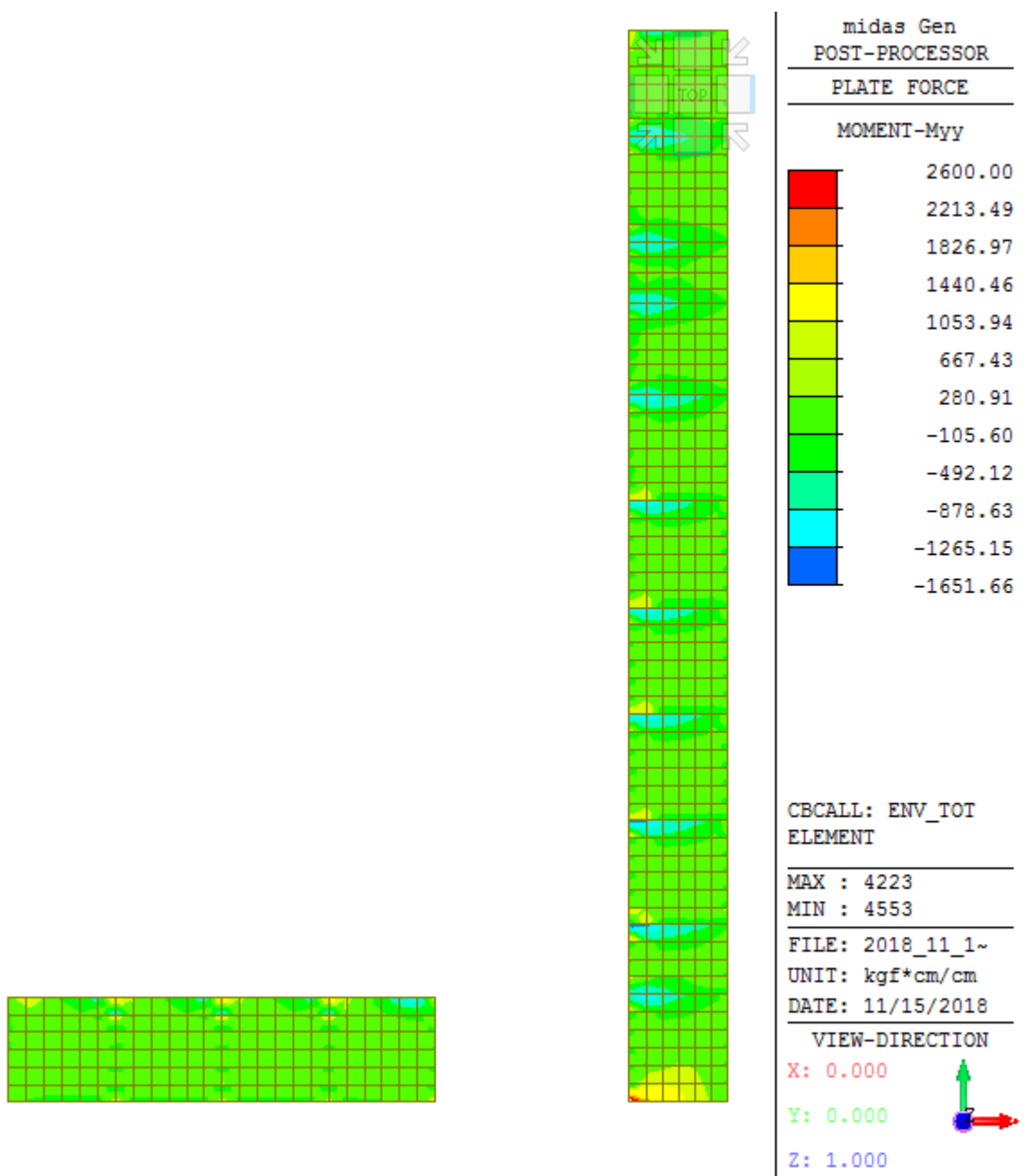
M1 512 kgm Momento prima fessurazione

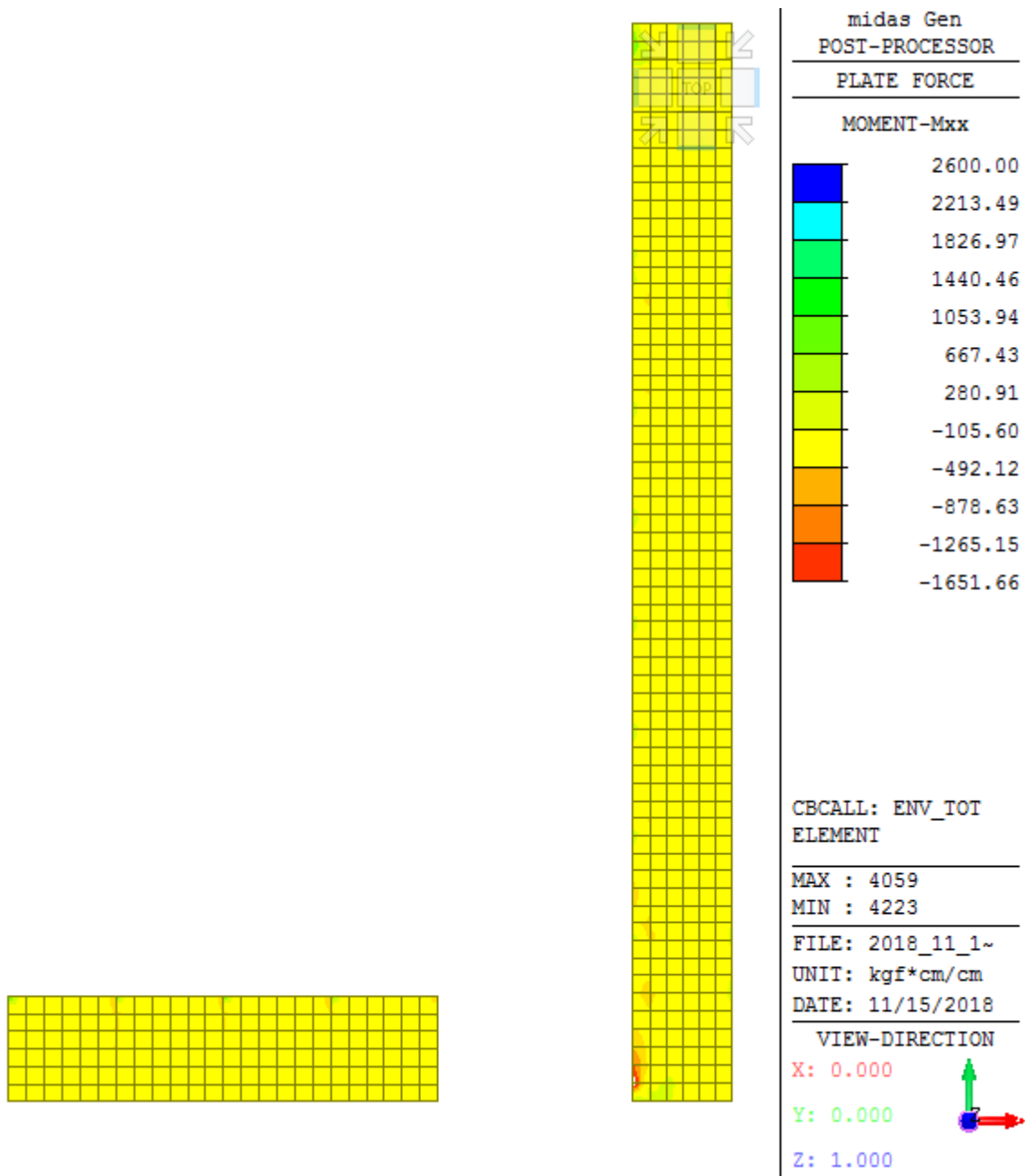
 $\sigma_{s,max,freq}$ 2095 kg/cm² $\sigma_{s,max,qp}$ 2091 kg/cm² w_{freq} 0.125 mm $w_{lim} = 0.40$ mm w_{qp} 0.146 mm $w_{lim} = 0.30$ mm

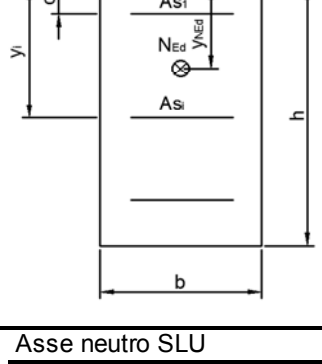
VERIFICATO

VERIFICATO

13.5. Verifica solette intermedie sp. 20cm



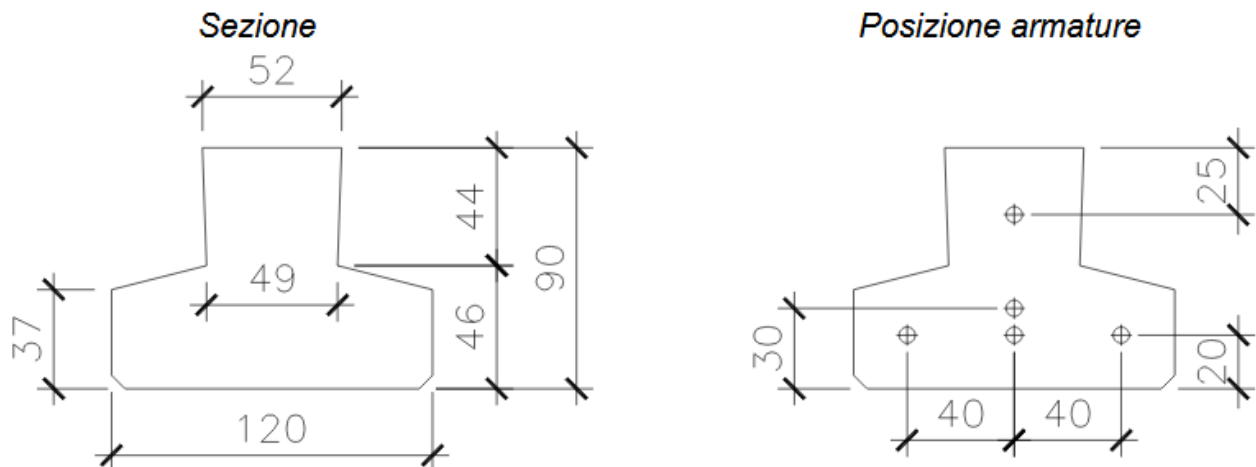


VERIFICA SEZIONE RETTANGOLARE PRESSOFLESSIONE RETTA			SEZIONE	100x20		
d.m. 17/01/2018						
Calcestruzzo						
FC	1	Fattore di confidenza cls (solo esistente)				
R _{ck}	300 kg/cm ²	Resistenza cubica a compressione				
g _c	1.5	Coeff. sicurezza calcestruzzo				
a _{cc}	0.85	Fattore di durata carico				
f _{cd}	141 kg/cm ²	Resistenza di progetto a compressione				
Acciaio						
FC	1	Fattore di confidenza acciaio (solo esistente)				
f _{yk}	4500 kg/cm ²	Tensione di snervamento				
g _s	1.15	Coeff. sicurezza acciaio				
f _{yd}	3913 kg/cm ²	Tensione di progetto				
Sezione						
b	100 cm	Base				
h	20 cm	Altezza				
c	4 cm	Coprifero da asse armatura a lembo compresso				
Armature						
Strato	y_i	n_b	f	A		
	[cm]	[-]	[mm]	[cm ²]		
1	4.0	5	10	3.92		
2	4.0			0.00		
3				0.00		
4				0.00		
5	16.0			0.00		
6	16.0	5	10	3.92		
			3.9			
VERIFICA SLU			Asse neutro SLU			
N _{ed,SLU}	0 kg	Sforzo normale agente (+ compr.)				
y _{NEd}	10 cm	Eccentricità sforzo normale				
M _{Ed,SLU}	2600 kg m	Momento flettente agente				
M _{Rd}	2716 kg m	M _{Ed} /M _{Rd} =	0.96 ≤ 1	VERIFICATO		
VERIFICA SLE			Asse neutro SLE			
M _{Ed,car}	1200 kgm	n	6.68	x _{SLE,car} 2.76 cm		
M _{Ed,freq}	1100 kgm	n	6.68	x _{SLE,freq} 2.76 cm		
M _{Ed,qp}	1050 kgm	n	15.00	x _{SLE,qp} 3.82 cm		
Verifica tensioni in esercizio						
σ _{c,car}	62.0 kg/cm ²	σ _{c,lim}	149.4 kg/cm ²	VERIFICATO		
σ _{s,max,car}	1988 kg/cm ²	σ _{s,lim}	3600 kg/cm ²	VERIFICATO		
σ _{c,qp}	37.8 kg/cm ²	σ _{c,lim}	112.1 kg/cm ²	VERIFICATO		
σ _{s,max,qp}	1810 kg/cm ²	σ _{s,lim}	3600 kg/cm ²	VERIFICATO		
Verifica fessurazione						
M ₁	2046 kgm	Momento prima fessurazione				
σ _{s,max,freq}	1822 kg/cm ²					
σ _{s,max,qp}	1810 kg/cm ²					
W _{freq}	0.192 mm	W _{lim} =	0.40 mm	SEZ. NON FESSURATA		
W _{qp}	0.182 mm	W _{lim} =	0.30 mm	SEZ. NON FESSURATA		

13.6. Verifica copertura

La soletta di copertura è realizzata attraverso travetti prefabbricati. La scheda tipo dei travetti è riportata in seguito:

TRAVETTO 9x12



Caratteristiche del travetto 9x12 (valori riferiti al travetto)							
9x12		Tipo		T2	T4	T5	T6
Armatura di precompressione	trecce superiori		1 A8	1 A12	1 A12	1 A21	
	Area	mm ²	8	12	12	21	
	trecce intermedie		-	-	1 A12	1 A12	
	Area	mm ²	-	-	12	12	
	trecce inferiori		2 A12	2 A21	1 A12 - 2 A21	3 A21	
Area ideale	Area	mm ²	24	42	54	64	
	A _r	mm ²	7590	7724	7868	7979	
Dist. baricentro lembo sup.	y _s	mm	54	54	54	54	
Momento d'inerzia	J	mm ⁴	4601226	4649274	4669190	4730344	
Tensioni di precompressione a cadute esaurite	lembo superiore	σ_{cps} N/mm ²	-2.76	-3.73	-3.65	-7.31	
	lembo inferiore	σ_{cip} N/mm ²	-5.99	-10.55	-15.07	-15.96	

Lo schema di armatura considerato è il T4

E' riportato di seguito il calcolo in prima fase con il travetto poggiante su tre appoggi considerando come carico agente il peso del getto in c.a. e di un operatore (100 kg).

Sono applicati i seguenti carichi:

$$G1 = 375 \text{ kg/mq} * 0.12 \text{ m} = 45 \text{ kg/m} \text{ (peso proprio travetto e getto)}$$

$$Q = 100 \text{ kg in mezzeria campata luce maggiore}$$

Si hanno i seguenti momenti:

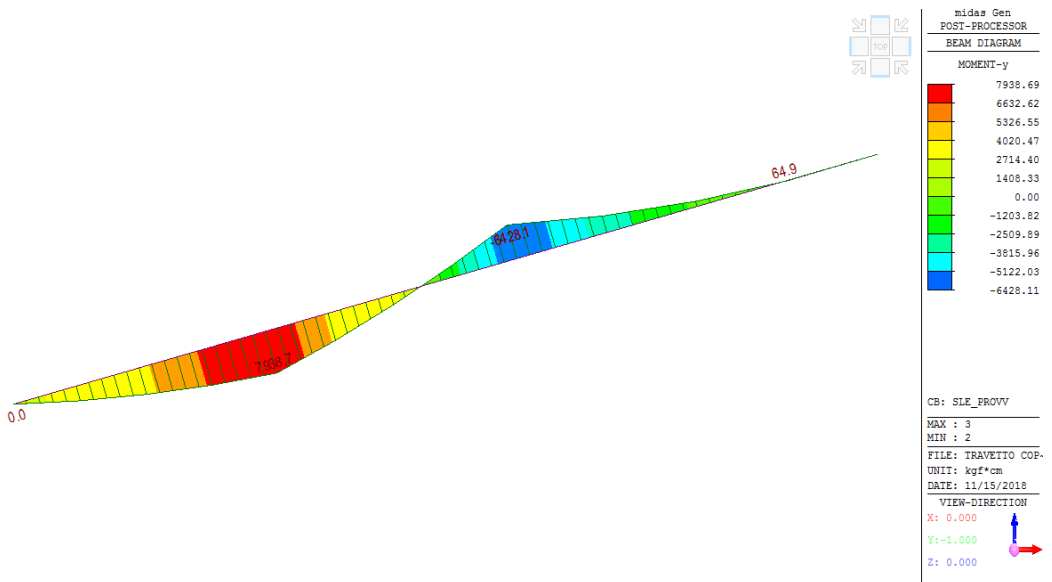
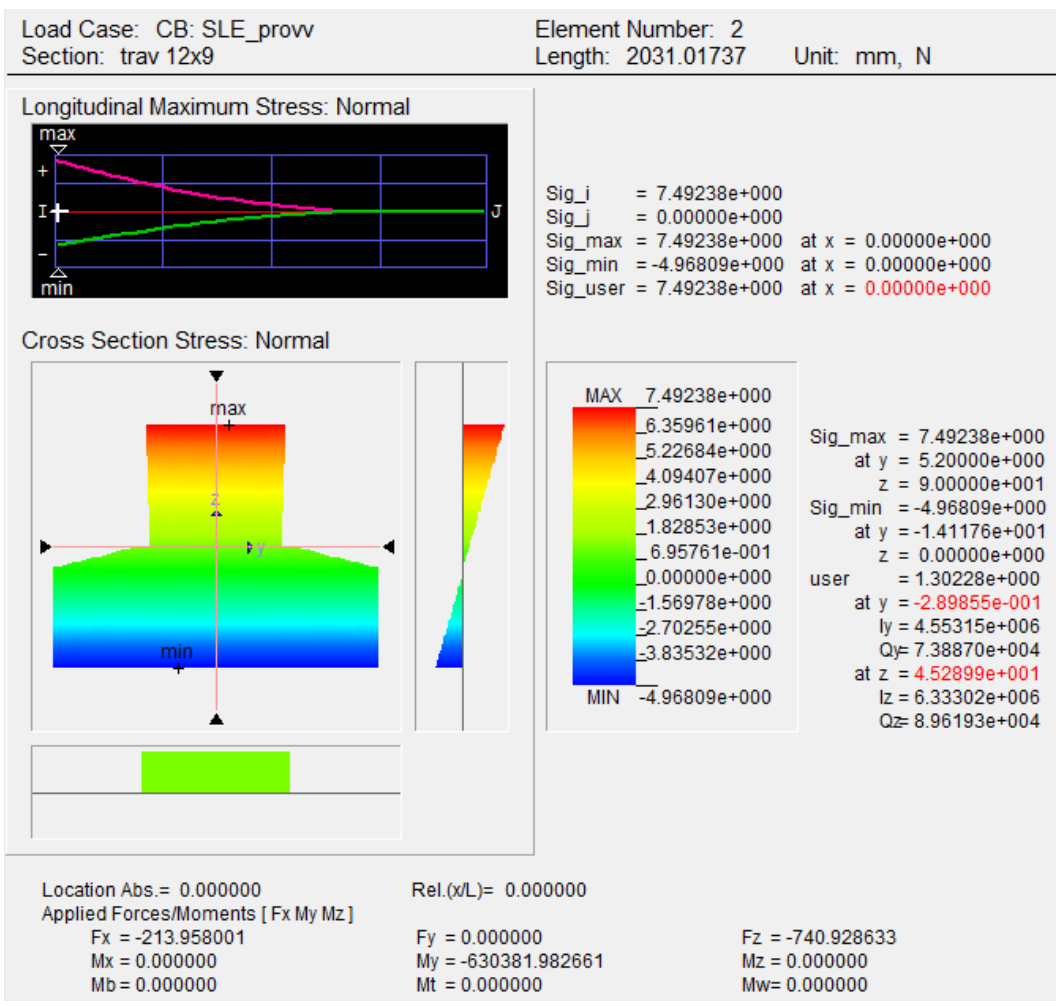


Figura 19 - Momenti agenti prima fase



Schema	T4		
[N/mmq]	precompr	SLE_1a Fase	Totale
σ sup	-3.73	7.49	3.76
σ inf	-10.55	-4.96	-15.51

< 3.83 Mpa
< -27.39 Mpa

Le sollecitazioni di servizio sono riportate in seguito.

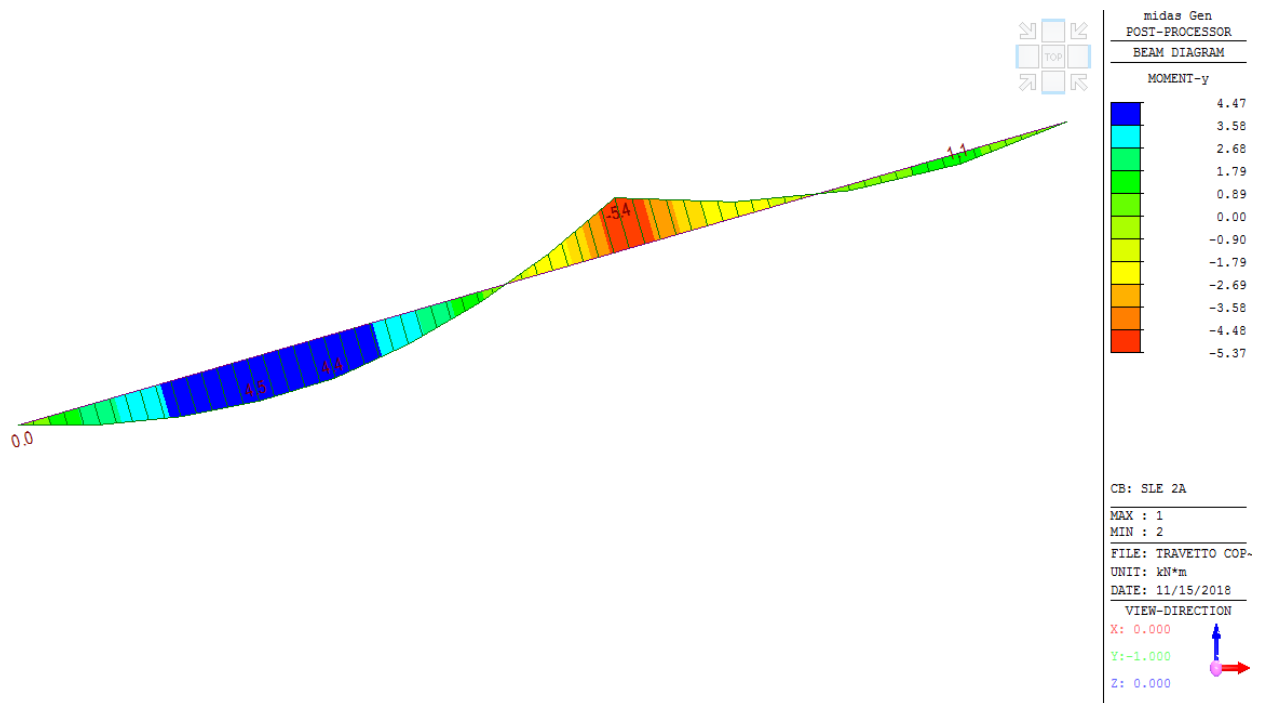


Figura 20 - Momento agente 2a fase (striscia 1m)

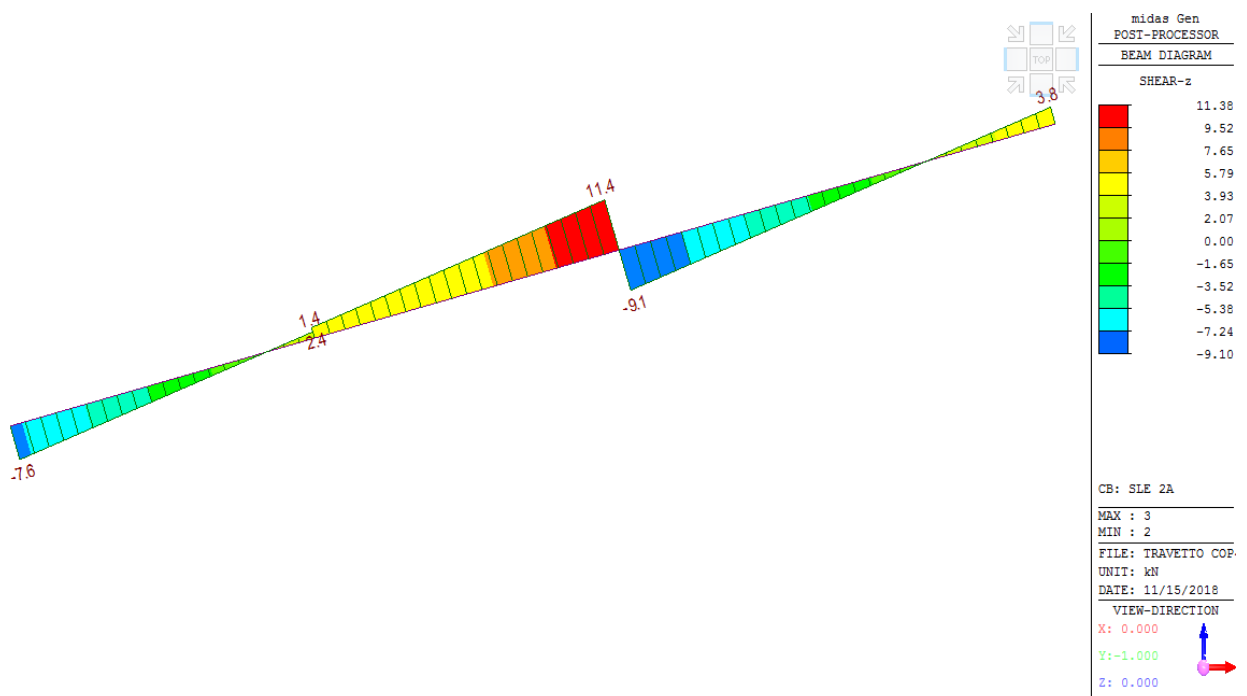


Figura 21 - Taglio agente seconda fase (striscia 1m)

Solettone a travetti precompressi TRAVE-CAP® 9x12 accostati

Altezza solaio	Congl. per getto	Peso solaio in opera	Prestazioni di servizio riferite alla striscia di solaio larga 1 metro				Caratteristiche meccaniche sezione parzializzata	
			$R_{ck}^* = 30 \text{ N/mm}^2$ $R_{ckp}^* = 55 \text{ N/mm}^2$ Acciaio da prec. $f_{yk} = 1670 \text{ N/mm}^2$					
cm	I/m ²	kN/m ²	Momenti massimi di servizio (kNm)			Taglio	Dist. asse neutro lembo sup.	Momento d'inerzia
Armatura tipo	T2	T4	T5	T6	kN	cm	cm ⁴	
15	90	3.75	25.35	40.27	-	81.00	7.9	32491
20	140	5.00	40.40	65.50	70.65	-	108.00	10.3
25	190	6.25	52.81	87.45	109.77	-	135.00	12.5
30	240	7.50	65.65	109.39	152.80	157.07	162.00	14.4
35	290	8.75	78.47	131.34	184.42	211.14	189.00	16.3
40	340	10.00	91.27	151.83	216.05	259.16	216.00	17.9
45	390	11.25	104.06	173.66	232.36	298.21	243.00	19.5
								671232

Il momento di servizio positivo con lo schema T4 è pari a:

$$M_y = 40.27 \text{ kNm} > 4.47 \text{ kNm}$$

VERIFICATO

$$V = 81 \text{ kN} > 11.38 \text{ kNm}$$

VERIFICATO

Al di sopra dell'appoggio centrale è disposta un armatura integrativa costituita da 1φ14/40

$$A_s = 1.53 * 2.5 = 3.82 \text{ cmq/m}$$

$$M_{Rd} = 3.82 * 3913 * 12 * 0.9 = 1616 \text{ kgm} = 16.16 \text{ kNm} > 5.4 \text{ kNm}$$

VERIFICATO

13.7. Verifica pilastri

Di seguito sono riportate le armature dei pilastri 50x30 e 65x40

PILASTRO 50x30

Tipo verifica : stati limite - pressoflessione deviata.
Unità di misura generiche: daN; cm; daNcm; daN/cm²; d in mm; deformazioni*1000.
ferri : diametri in mm; aree in cm².

Simboli:

Vert. = contorno_vertice del CLS; d = diametro;
S = Sigma (tensioni sui materiali);
D = Deformazioni x 1000 (epsilon);
Ve = colonna che indica se la verifica e' soddisfatta;

MATERIALI

Calcestruzzo: Rck = 300. ; fck = 249. ; fcd = 141.1 (.35%)
Acciaio : Tipo= B450C ; ftk = 4500. ; fyk = 4500. ; ftd = 3913.04 (6.75%)

SEZIONE

L'asse Z e' rivolto verso destra, l'asse Y e' rivolto verso l'alto.

Tipo sezione: RETTANGOLARE

Cls:	Acciaio lento:						
	vert.	Z	Y	ferro	Z	Y	d[mm] Af[cm ²]
1- 1	-25.	0.		1	7.3	27.	16. 2.0106
1- 2	-25.	30.		2	-7.3	27.	16. 2.0106
1- 3	25.	30.		3	7.3	3.	16. 2.0106
1- 4	25.	0.		4	-7.3	3.	16. 2.0106
				5	22.	3.	16. 2.0106
				6	22.	15.	16. 2.0106
				7	22.	27.	16. 2.0106
				8	-22.	27.	16. 2.0106
				9	-22.	15.	16. 2.0106
				10	-22.	3.	16. 2.0106

SOLLECITAZIONI AGENTI

Sforzi normali applicati in z= 0. ; y= 15. (baricentro CLS)

Convenzioni: N + trazione; Mz + fib.inferiori tese; My + fib.sinistra tese.

N	N	Mz	My	Sol: ultima/agente = fs (>=1 OK)
1	1462.	600000.	237574.	

RISULTATI

Piani di equilibrio (eps= muz * y +muy * z + lam):

Sol.	muz	muy	lambda
1.	-.00008057306	-.00001035746	.00172380281

Deformazioni massime sui materiali:

sol	cls	vert.	D	Acciaio lento			
				cls	s cls	ferri	s ferri Ve
1	1- 3		-.9523	-102.4	si	10.	1.7099 3419.9 si

PILASTRO 60x40

Tipo verifica : stati limite - pressoflessione deviata.

Unità di misura generiche: daN; cm; daNm; daN/cm²; d in mm; deformazioni*1000.
ferri : diametri in mm; aree in cm².

Simboli:

Vert. = contorno_vertice del CLS; d = diametro;
S = Sigma (tensioni sui materiali);
D = Deformazioni x 1000 (epsilon);
Ve = colonna che indica se la verifica e' soddisfatta;

MATERIALI

Calcestruzzo: Rck = 300. ; fck = 249. ; fcd = 141.1 (.35%)

Acciaio : Tipo= B450C ; ftk = 4500. ; fyk = 4500. ; ftd = 3913.04 (6.75%)

SEZIONE

L'asse Z e' rivolto verso destra, l'asse Y e' rivolto verso l'alto.

Tipo sezione: RETTANGOLARE

Cls: Acciaio lento:

vert.	Z	Y	ferro	Z	Y	d[mm]	Af[cm ²]
1- 1	-32.5	0.	1	19.7	37.	20.	3.1416
1- 2	-32.5	40.	2	9.8	37.	16.	2.0106
1- 3	32.5	40.	3	0.	37.	16.	2.0106
1- 4	32.5	0.	4	-9.8	37.	16.	2.0106
			5	-19.7	37.	20.	3.1416
			6	19.7	3.	20.	3.1416
			7	9.8	3.	16.	2.0106
			8	0.	3.	16.	2.0106
			9	-9.8	3.	16.	2.0106
			10	-19.7	3.	20.	3.1416
			11	29.5	3.	20.	3.1416
			12	29.5	11.5	20.	3.1416
			13	29.5	20.	20.	3.1416
			14	29.5	28.5	20.	3.1416
			15	29.5	37.	20.	3.1416
			16	-29.5	3.	20.	3.1416
			17	-29.5	11.5	20.	3.1416
			18	-29.5	20.	20.	3.1416
			19	-29.5	28.5	20.	3.1416
			20	-29.5	37.	20.	3.1416

SOLLECITAZIONI AGENTI

Sforzi normali applicati in z= 0. ; y= 20. (baricentro CLS)

Convenzioni: N + trazione; Mz + fib.inferiori tese; My + fib.sinistra tese.

N | N | Mz | My | Sol: ultima/agente = fs (>=1 OK)
1 | 30361. | 1622687. | 1353212. |

RISULTATI

Piani di equilibrio (eps= muz * y +muy * z + lam):

Sol.	muz	muy	lambda
1.	-0.00005204519	-0.00001444201	.00155398199

Deformazioni massime sui materiali:

sol	cls	D cls	s cls	vert.	Acciaio lento	ferri	D ferri	s ferri	ve
1	1- 3	- .9972	-105.6	si	16.	1.8239	3647.8	si	

13.8. Verifica pareti

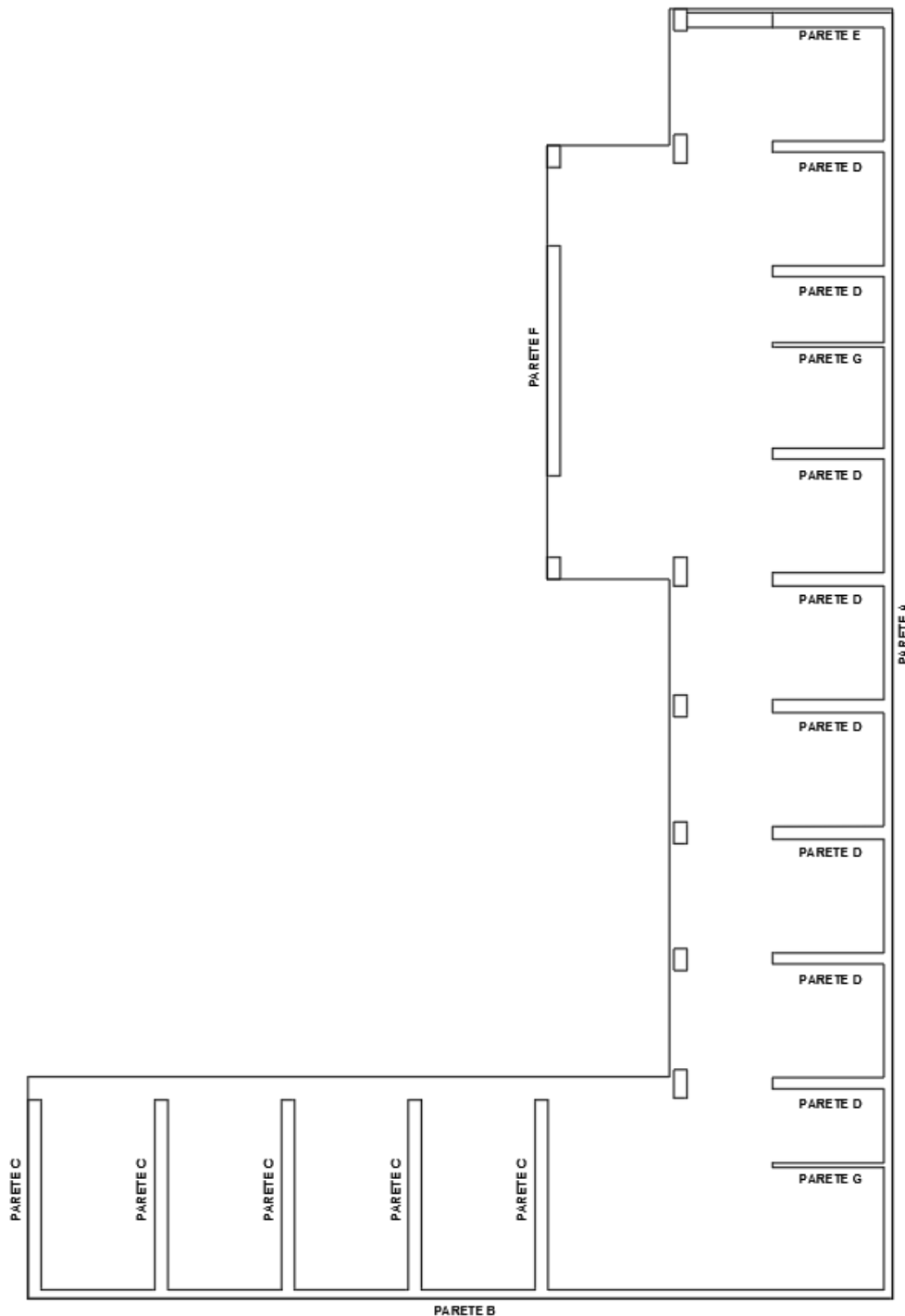


Figura 22 - Identificazione pareti

Di seguito sono riportate le sollecitazioni nel piano della parete nella sezione di base ottenute dal programma di calcolo:

PARETE	PARETE	COMB	Length (cm)	Fx (kgf)	My (kgf*cm)	Mz (kgf*cm)
A	PARETE A	S16	2.92E+03	-1.45E+05	-4.57E+07	5.15E+05
		S4	2915.67	1.15E+04	2.34E+07	1.76E+06
		S20	2915.67	-2.47E+04	1.65E+07	1.47E+06
B	PARETE B	S18	1953.21	-5.12E+04	2.81E+07	-1.73E+06
		SLU	1953.21	-1.22E+05	1.50E+07	-2.95E+06
		S1	1953.21	-5.86E+04	2.76E+07	-1.69E+06
C	PARETE C4	S20	4.73E+02	-6.76E+04	5.10E+06	1.14E+06
	PARETE C5	S20	4.73E+02	-2.96E+04	3.29E+06	1.57E+06
	PARETE C1	S32	4.73E+02	-6.96E+04	-4.90E+06	-2.98E+04
D	PARETE D3	S1	2.65E+02	-3.12E+04	6.96E+06	2.36E+05
	PARETE D8	S4	2.65E+02	-3.71E+04	4.51E+06	6.13E+05
	PARETE D3	S1	2.65E+02	-3.12E+04	6.96E+06	2.36E+05
DA	PARETE D6A	S3	2.65E+02	-3.04E+04	4.74E+06	5.61E+05
	PARETE D6A	S20	2.65E+02	-3.24E+04	3.79E+06	5.95E+05
	PARETE D4A	S16	2.65E+02	-4.25E+04	-3.90E+06	2.00E+05
E	PARETE E	S13	2.65E+02	-2.48E+04	-3.61E+06	4.73E+05
	PARETE E	S1	2.65E+02	-1.86E+04	1.13E+06	6.94E+05
	PARETE E	S4	2.65E+02	-1.52E+04	2.02E+06	3.98E+05
F	PARETE F	S32	5.26E+02	-2.98E+04	-4.82E+06	-2.29E+06
	PARETE F	S16	5.26E+02	-3.19E+04	-3.72E+06	-2.70E+06
	PARETE F	S32	5.26E+02	-2.98E+04	-4.82E+06	-2.29E+06
G	PARETE G1	S13	2.65E+02	-4.27E+04	-5.63E+06	1.14E+04
	PARETE G1	S17	2.65E+02	-3.03E+04	-1.53E+06	1.65E+05
	PARETE G1	S13	2.65E+02	-4.27E+04	-5.63E+06	1.14E+04

VERIFICA A PRESSOFLESSIONE

PARETE A

Tipo verifica : stati limite - pressoflessione deviata.

Unità di misura generiche: daN; cm; daNcm; daN/cm2; d in mm; deformazioni*1000.
ferri : diametri in mm; aree in cm2.

Simboli:

Vert. = contorno_vertice del CLS; d = diametro;
S = Sigma (tensioni sui materiali);
D = Deformazioni x 1000 (epsilon);
Ve = colonna che indica se la verifica e' soddisfatta;

MATERIALI

Calcestruzzo: Rck = 300. ; fck = 249. ; fcd = 141.1 (.35%)
Acciaio : Tipo= B450C ; ftk = 4500. ; fyk = 4500. ; ftd = 3913.04 (6.75%)

SEZIONE

L'asse Z e' rivolto verso destra, l'asse Y e' rivolto verso l'alto.

Tipo sezione: RETTANGOLARE

Clz: Acciaio lento:

vert.	Z	Y	ferro	Z	Y	d[mm]	Af[cm2]
1- 1	-1458.	0.	1	1454.5	17.	10.	.7854
1- 2	-1458.	20.	2	1433.6	17.	10.	.7854
1- 3	1457.5	20.	3	1412.6	17.	10.	.7854
1- 4	1457.5	0.	4	1391.7	17.	10.	.7854
			5	1370.8	17.	10.	.7854
			6	1349.9	17.	10.	.7854
			7	1328.9	17.	10.	.7854
			8	1308.	17.	10.	.7854
			9	1287.1	17.	10.	.7854
			10	1266.1	17.	10.	.7854

11	1245.2	17.	10.	.7854
12	1224.3	17.	10.	.7854
13	1203.4	17.	10.	.7854
14	1182.4	17.	10.	.7854
15	1161.5	17.	10.	.7854
16	1140.6	17.	10.	.7854
17	1119.7	17.	10.	.7854
18	1098.7	17.	10.	.7854
19	1077.8	17.	10.	.7854
20	1056.9	17.	10.	.7854
21	1035.9	17.	10.	.7854
22	1015.	17.	10.	.7854
23	994.1	17.	10.	.7854
24	973.2	17.	10.	.7854
25	952.2	17.	10.	.7854
26	931.3	17.	10.	.7854
27	910.4	17.	10.	.7854
28	889.4	17.	10.	.7854
29	868.5	17.	10.	.7854
30	847.6	17.	10.	.7854
31	826.7	17.	10.	.7854
32	805.7	17.	10.	.7854
33	784.8	17.	10.	.7854
34	763.9	17.	10.	.7854
35	742.9	17.	10.	.7854
36	722.	17.	10.	.7854
37	701.1	17.	10.	.7854
38	680.2	17.	10.	.7854
39	659.2	17.	10.	.7854
40	638.3	17.	10.	.7854
41	617.4	17.	10.	.7854
42	596.4	17.	10.	.7854
43	575.5	17.	10.	.7854
44	554.6	17.	10.	.7854
45	533.7	17.	10.	.7854
46	512.7	17.	10.	.7854
47	491.8	17.	10.	.7854
48	470.9	17.	10.	.7854
49	450.	17.	10.	.7854
50	429.	17.	10.	.7854
51	408.1	17.	10.	.7854
52	387.2	17.	10.	.7854
53	366.2	17.	10.	.7854
54	345.3	17.	10.	.7854
55	324.4	17.	10.	.7854
56	303.5	17.	10.	.7854
57	282.5	17.	10.	.7854
58	261.6	17.	10.	.7854
59	240.7	17.	10.	.7854
60	219.7	17.	10.	.7854
61	198.8	17.	10.	.7854
62	177.9	17.	10.	.7854
63	157.	17.	10.	.7854
64	136.	17.	10.	.7854
65	115.1	17.	10.	.7854
66	94.2	17.	10.	.7854
67	73.2	17.	10.	.7854
68	52.3	17.	10.	.7854
69	31.4	17.	10.	.7854
70	10.5	17.	10.	.7854
71	-10.5	17.	10.	.7854
72	-31.4	17.	10.	.7854
73	-52.3	17.	10.	.7854
74	-73.2	17.	10.	.7854
75	-94.2	17.	10.	.7854
76	-115.1	17.	10.	.7854
77	-136.	17.	10.	.7854
78	-157.	17.	10.	.7854
79	-177.9	17.	10.	.7854
80	-198.8	17.	10.	.7854
81	-219.7	17.	10.	.7854
82	-240.7	17.	10.	.7854
83	-261.6	17.	10.	.7854
84	-282.5	17.	10.	.7854
85	-303.5	17.	10.	.7854
86	-324.4	17.	10.	.7854
87	-345.3	17.	10.	.7854
88	-366.2	17.	10.	.7854

89	-387.2	17.	10.	.7854
90	-408.1	17.	10.	.7854
91	-429.	17.	10.	.7854
92	-450.	17.	10.	.7854
93	-470.9	17.	10.	.7854
94	-491.8	17.	10.	.7854
95	-512.7	17.	10.	.7854
96	-533.7	17.	10.	.7854
97	-554.6	17.	10.	.7854
98	-575.5	17.	10.	.7854
99	-596.4	17.	10.	.7854
100	-617.4	17.	10.	.7854
101	-638.3	17.	10.	.7854
102	-659.2	17.	10.	.7854
103	-680.2	17.	10.	.7854
104	-701.1	17.	10.	.7854
105	-722.	17.	10.	.7854
106	-742.9	17.	10.	.7854
107	-763.9	17.	10.	.7854
108	-784.8	17.	10.	.7854
109	-805.7	17.	10.	.7854
110	-826.7	17.	10.	.7854
111	-847.6	17.	10.	.7854
112	-868.5	17.	10.	.7854
113	-889.4	17.	10.	.7854
114	-910.4	17.	10.	.7854
115	-931.3	17.	10.	.7854
116	-952.2	17.	10.	.7854
117	-973.2	17.	10.	.7854
118	-994.1	17.	10.	.7854
119	-1015.	17.	10.	.7854
120	-1036.	17.	10.	.7854
121	-1057.	17.	10.	.7854
122	-1078.	17.	10.	.7854
123	-1099.	17.	10.	.7854
124	-1120.	17.	10.	.7854
125	-1141.	17.	10.	.7854
126	-1162.	17.	10.	.7854
127	-1182.	17.	10.	.7854
128	-1203.	17.	10.	.7854
129	-1224.	17.	10.	.7854
130	-1245.	17.	10.	.7854
131	-1266.	17.	10.	.7854
132	-1287.	17.	10.	.7854
133	-1308.	17.	10.	.7854
134	-1329.	17.	10.	.7854
135	-1350.	17.	10.	.7854
136	-1371.	17.	10.	.7854
137	-1392.	17.	10.	.7854
138	-1413.	17.	10.	.7854
139	-1434.	17.	10.	.7854
140	-1455.	17.	10.	.7854
141	1454.5	3.	10.	.7854
142	1433.6	3.	10.	.7854
143	1412.6	3.	10.	.7854
144	1391.7	3.	10.	.7854
145	1370.8	3.	10.	.7854
146	1349.9	3.	10.	.7854
147	1328.9	3.	10.	.7854
148	1308.	3.	10.	.7854
149	1287.1	3.	10.	.7854
150	1266.1	3.	10.	.7854
151	1245.2	3.	10.	.7854
152	1224.3	3.	10.	.7854
153	1203.4	3.	10.	.7854
154	1182.4	3.	10.	.7854
155	1161.5	3.	10.	.7854
156	1140.6	3.	10.	.7854
157	1119.7	3.	10.	.7854
158	1098.7	3.	10.	.7854
159	1077.8	3.	10.	.7854
160	1056.9	3.	10.	.7854
161	1035.9	3.	10.	.7854
162	1015.	3.	10.	.7854
163	994.1	3.	10.	.7854
164	973.2	3.	10.	.7854
165	952.2	3.	10.	.7854
166	931.3	3.	10.	.7854

167	910.4	3.	10.	.7854
168	889.4	3.	10.	.7854
169	868.5	3.	10.	.7854
170	847.6	3.	10.	.7854
171	826.7	3.	10.	.7854
172	805.7	3.	10.	.7854
173	784.8	3.	10.	.7854
174	763.9	3.	10.	.7854
175	742.9	3.	10.	.7854
176	722.	3.	10.	.7854
177	701.1	3.	10.	.7854
178	680.2	3.	10.	.7854
179	659.2	3.	10.	.7854
180	638.3	3.	10.	.7854
181	617.4	3.	10.	.7854
182	596.4	3.	10.	.7854
183	575.5	3.	10.	.7854
184	554.6	3.	10.	.7854
185	533.7	3.	10.	.7854
186	512.7	3.	10.	.7854
187	491.8	3.	10.	.7854
188	470.9	3.	10.	.7854
189	450.	3.	10.	.7854
190	429.	3.	10.	.7854
191	408.1	3.	10.	.7854
192	387.2	3.	10.	.7854
193	366.2	3.	10.	.7854
194	345.3	3.	10.	.7854
195	324.4	3.	10.	.7854
196	303.5	3.	10.	.7854
197	282.5	3.	10.	.7854
198	261.6	3.	10.	.7854
199	240.7	3.	10.	.7854
200	219.7	3.	10.	.7854
201	198.8	3.	10.	.7854
202	177.9	3.	10.	.7854
203	157.	3.	10.	.7854
204	136.	3.	10.	.7854
205	115.1	3.	10.	.7854
206	94.2	3.	10.	.7854
207	73.2	3.	10.	.7854
208	52.3	3.	10.	.7854
209	31.4	3.	10.	.7854
210	10.5	3.	10.	.7854
211	-10.5	3.	10.	.7854
212	-31.4	3.	10.	.7854
213	-52.3	3.	10.	.7854
214	-73.2	3.	10.	.7854
215	-94.2	3.	10.	.7854
216	-115.1	3.	10.	.7854
217	-136.	3.	10.	.7854
218	-157.	3.	10.	.7854
219	-177.9	3.	10.	.7854
220	-198.8	3.	10.	.7854
221	-219.7	3.	10.	.7854
222	-240.7	3.	10.	.7854
223	-261.6	3.	10.	.7854
224	-282.5	3.	10.	.7854
225	-303.5	3.	10.	.7854
226	-324.4	3.	10.	.7854
227	-345.3	3.	10.	.7854
228	-366.2	3.	10.	.7854
229	-387.2	3.	10.	.7854
230	-408.1	3.	10.	.7854
231	-429.	3.	10.	.7854
232	-450.	3.	10.	.7854
233	-470.9	3.	10.	.7854
234	-491.8	3.	10.	.7854
235	-512.7	3.	10.	.7854
236	-533.7	3.	10.	.7854
237	-554.6	3.	10.	.7854
238	-575.5	3.	10.	.7854
239	-596.4	3.	10.	.7854
240	-617.4	3.	10.	.7854
241	-638.3	3.	10.	.7854
242	-659.2	3.	10.	.7854
243	-680.2	3.	10.	.7854
244	-701.1	3.	10.	.7854

245	-722.	3.	10.	.7854
246	-742.9	3.	10.	.7854
247	-763.9	3.	10.	.7854
248	-784.8	3.	10.	.7854
249	-805.7	3.	10.	.7854
250	-826.7	3.	10.	.7854
251	-847.6	3.	10.	.7854
252	-868.5	3.	10.	.7854
253	-889.4	3.	10.	.7854
254	-910.4	3.	10.	.7854
255	-931.3	3.	10.	.7854
256	-952.2	3.	10.	.7854
257	-973.2	3.	10.	.7854
258	-994.1	3.	10.	.7854
259	-1015.	3.	10.	.7854
260	-1036.	3.	10.	.7854
261	-1057.	3.	10.	.7854
262	-1078.	3.	10.	.7854
263	-1099.	3.	10.	.7854
264	-1120.	3.	10.	.7854
265	-1141.	3.	10.	.7854
266	-1162.	3.	10.	.7854
267	-1182.	3.	10.	.7854
268	-1203.	3.	10.	.7854
269	-1224.	3.	10.	.7854
270	-1245.	3.	10.	.7854
271	-1266.	3.	10.	.7854
272	-1287.	3.	10.	.7854
273	-1308.	3.	10.	.7854
274	-1329.	3.	10.	.7854
275	-1350.	3.	10.	.7854
276	-1371.	3.	10.	.7854
277	-1392.	3.	10.	.7854
278	-1413.	3.	10.	.7854
279	-1434.	3.	10.	.7854
280	-1455.	3.	10.	.7854

SOLLECITAZIONI AGENTI

Sforzi normali applicati in z= 0. ; y= 10. (baricentro CLS)

Convenzioni: N + trazione; Mz + fib.inferiori tese; My + fib.sinistra tese.

N.	N	Mz	My	Sol: ultima/agente = fs (>=1 OK)
1	-145000.	515000.	-45700000.	
2	11500.	1760000.	23400000.	

RISULTATI

Piani di equilibrio (eps= muz * y +muy * z + lam):

Sol.	muz	muy	lambda
1.	-.00000188444	.00000000829	.00000255556
2.	-.00004003226	-.00000001786	.00065869724

Deformazioni massime sui materiali:

sol	vert.	D	Cls		S	cls	Ve	Acciaio lento		
			cls	cls				ferro	D	ferri
1	1- 2		-.0472	-6.6	si			141.	.009	17.9
2	1- 3		-.168	-22.7	si			280.	.5646	1129.1

PARETE B

Tipo verifica : stati limite - pressoflessione deviata.

Unità di misura generiche: daN; cm; daNcm; daN/cm2; d in mm; deformazioni*1000.
ferri : diametri in mm; aree in cm2.

Simboli:

- Vert. = contorno_vertice del CLS; d = diametro;
- S = Sigma (tensioni sui materiali);
- D = Deformazioni x 1000 (epsilon);
- Ve = colonna che indica se la verifica e' soddisfatta;

MATERIALI

Calcestruzzo: Rck = 300. ; fck = 249. ; fcd = 141.1 (.35%)
Acciaio : Tipo= B450C ; ftk = 4500. ; fyk = 4500. ; ftd = 3913.04 (6.75%)

SEZIONE

L'asse Z e' rivolto verso destra, l'asse Y e' rivolto verso l'alto.

Tipo sezione: RETTANGOLARE

Cls: Acciaio lento:

vert.	Z	Y	ferro	Z	Y	d[mm]	Af[cm ²]
1- 1	-976.5	0.		1	973.5	17.	10. .7854
1- 2	-976.5	20.		2	952.8	17.	10. .7854
1- 3	976.5	20.		3	932.1	17.	10. .7854
1- 4	976.5	0.		4	911.4	17.	10. .7854
				5	890.6	17.	10. .7854
				6	869.9	17.	10. .7854
				7	849.2	17.	10. .7854
				8	828.5	17.	10. .7854
				9	807.8	17.	10. .7854
				10	787.1	17.	10. .7854
				11	766.4	17.	10. .7854
				12	745.7	17.	10. .7854
				13	724.9	17.	10. .7854
				14	704.2	17.	10. .7854
				15	683.5	17.	10. .7854
				16	662.8	17.	10. .7854
				17	642.1	17.	10. .7854
				18	621.4	17.	10. .7854
				19	600.7	17.	10. .7854
				20	580.	17.	10. .7854
				21	559.2	17.	10. .7854
				22	538.5	17.	10. .7854
				23	517.8	17.	10. .7854
				24	497.1	17.	10. .7854
				25	476.4	17.	10. .7854
				26	455.7	17.	10. .7854
				27	435.	17.	10. .7854
				28	414.3	17.	10. .7854
				29	393.5	17.	10. .7854
				30	372.8	17.	10. .7854
				31	352.1	17.	10. .7854
				32	331.4	17.	10. .7854
				33	310.7	17.	10. .7854
				34	290.	17.	10. .7854
				35	269.3	17.	10. .7854
				36	248.6	17.	10. .7854
				37	227.8	17.	10. .7854
				38	207.1	17.	10. .7854
				39	186.4	17.	10. .7854
				40	165.7	17.	10. .7854
				41	145.	17.	10. .7854
				42	124.3	17.	10. .7854
				43	103.6	17.	10. .7854
				44	82.9	17.	10. .7854
				45	62.1	17.	10. .7854
				46	41.4	17.	10. .7854
				47	20.7	17.	10. .7854
				48	0.	17.	10. .7854
				49	-20.7	17.	10. .7854
				50	-41.4	17.	10. .7854
				51	-62.1	17.	10. .7854
				52	-82.9	17.	10. .7854
				53	-103.6	17.	10. .7854
				54	-124.3	17.	10. .7854
				55	-145.	17.	10. .7854
				56	-165.7	17.	10. .7854
				57	-186.4	17.	10. .7854
				58	-207.1	17.	10. .7854
				59	-227.8	17.	10. .7854
				60	-248.6	17.	10. .7854
				61	-269.3	17.	10. .7854
				62	-290.	17.	10. .7854
				63	-310.7	17.	10. .7854
				64	-331.4	17.	10. .7854
				65	-352.1	17.	10. .7854
				66	-372.8	17.	10. .7854
				67	-393.5	17.	10. .7854
				68	-414.3	17.	10. .7854
				69	-435.	17.	10. .7854
				70	-455.7	17.	10. .7854
				71	-476.4	17.	10. .7854
				72	-497.1	17.	10. .7854
				73	-517.8	17.	10. .7854
				74	-538.5	17.	10. .7854

75	-559.2	17.	10.	.7854
76	-580.	17.	10.	.7854
77	-600.7	17.	10.	.7854
78	-621.4	17.	10.	.7854
79	-642.1	17.	10.	.7854
80	-662.8	17.	10.	.7854
81	-683.5	17.	10.	.7854
82	-704.2	17.	10.	.7854
83	-724.9	17.	10.	.7854
84	-745.7	17.	10.	.7854
85	-766.4	17.	10.	.7854
86	-787.1	17.	10.	.7854
87	-807.8	17.	10.	.7854
88	-828.5	17.	10.	.7854
89	-849.2	17.	10.	.7854
90	-869.9	17.	10.	.7854
91	-890.6	17.	10.	.7854
92	-911.4	17.	10.	.7854
93	-932.1	17.	10.	.7854
94	-952.8	17.	10.	.7854
95	-973.5	17.	10.	.7854
96	-973.5	3.	10.	.7854
97	-952.8	3.	10.	.7854
98	-932.1	3.	10.	.7854
99	-911.4	3.	10.	.7854
100	-890.6	3.	10.	.7854
101	-869.9	3.	10.	.7854
102	-849.2	3.	10.	.7854
103	-828.5	3.	10.	.7854
104	-807.8	3.	10.	.7854
105	-787.1	3.	10.	.7854
106	-766.4	3.	10.	.7854
107	-745.7	3.	10.	.7854
108	-724.9	3.	10.	.7854
109	-704.2	3.	10.	.7854
110	-683.5	3.	10.	.7854
111	-662.8	3.	10.	.7854
112	-642.1	3.	10.	.7854
113	-621.4	3.	10.	.7854
114	-600.7	3.	10.	.7854
115	-580.	3.	10.	.7854
116	-559.2	3.	10.	.7854
117	-538.5	3.	10.	.7854
118	-517.8	3.	10.	.7854
119	-497.1	3.	10.	.7854
120	-476.4	3.	10.	.7854
121	-455.7	3.	10.	.7854
122	-435.	3.	10.	.7854
123	-414.3	3.	10.	.7854
124	-393.5	3.	10.	.7854
125	-372.8	3.	10.	.7854
126	-352.1	3.	10.	.7854
127	-331.4	3.	10.	.7854
128	-310.7	3.	10.	.7854
129	-290.	3.	10.	.7854
130	-269.3	3.	10.	.7854
131	-248.6	3.	10.	.7854
132	-227.8	3.	10.	.7854
133	-207.1	3.	10.	.7854
134	-186.4	3.	10.	.7854
135	-165.7	3.	10.	.7854
136	-145.	3.	10.	.7854
137	-124.3	3.	10.	.7854
138	-103.6	3.	10.	.7854
139	-82.9	3.	10.	.7854
140	-62.1	3.	10.	.7854
141	-41.4	3.	10.	.7854
142	-20.7	3.	10.	.7854
143	0.	3.	10.	.7854
144	20.7	3.	10.	.7854
145	41.4	3.	10.	.7854
146	62.1	3.	10.	.7854
147	82.9	3.	10.	.7854
148	103.6	3.	10.	.7854
149	124.3	3.	10.	.7854
150	145.	3.	10.	.7854
151	165.7	3.	10.	.7854
152	186.4	3.	10.	.7854

153	207.1	3.	10.	.7854
154	227.8	3.	10.	.7854
155	248.6	3.	10.	.7854
156	269.3	3.	10.	.7854
157	290.	3.	10.	.7854
158	310.7	3.	10.	.7854
159	331.4	3.	10.	.7854
160	352.1	3.	10.	.7854
161	372.8	3.	10.	.7854
162	393.5	3.	10.	.7854
163	414.3	3.	10.	.7854
164	435.	3.	10.	.7854
165	455.7	3.	10.	.7854
166	476.4	3.	10.	.7854
167	497.1	3.	10.	.7854
168	517.8	3.	10.	.7854
169	538.5	3.	10.	.7854
170	559.2	3.	10.	.7854
171	580.	3.	10.	.7854
172	600.7	3.	10.	.7854
173	621.4	3.	10.	.7854
174	642.1	3.	10.	.7854
175	662.8	3.	10.	.7854
176	683.5	3.	10.	.7854
177	704.2	3.	10.	.7854
178	724.9	3.	10.	.7854
179	745.7	3.	10.	.7854
180	766.4	3.	10.	.7854
181	787.1	3.	10.	.7854
182	807.8	3.	10.	.7854
183	828.5	3.	10.	.7854
184	849.2	3.	10.	.7854
185	869.9	3.	10.	.7854
186	890.6	3.	10.	.7854
187	911.4	3.	10.	.7854
188	932.1	3.	10.	.7854
189	952.8	3.	10.	.7854
190	973.5	3.	10.	.7854

SOLLECITAZIONI AGENTI

Sforzi normali applicati in z= 0. ; y= 10. (baricentro CLS)
 Convenzioni: N + trazione; Mz + fib.inferiori tese; My + fib.sinistra tese.
 N. | N | Mz | My | sol: ultima/agente = fs (>=1 OK)
 1 | -51200. | -1730000. | 28100000.
 2 | -122000. | -2950000. | 15000000.

RISULTATI

Piani di equilibrio (eps= muz * y +muy * z + lam):

Sol.	muz	muy	lambda
1.	.00004571622	-.00000005981	-.00020571442
2.	.00007145307	-.00000003043	-.00035512798

Deformazioni massime sui materiali:

sol	vert.	D	Acciaio lento		ferri	D ferri	S ferri	Ve
			cls	cls				
1	1- 4	- .2641	-34.8	si	95.	.6297	1259.4	si
2	1- 4	- .3848	-49.1	si	95.	.8892	1778.4	si

PARETE C

Tipo verifica : stati limite - pressoflessione deviata.
 Unità di misura generiche: daN; cm; daNcm; daN/cm2; d in mm; deformazioni*1000.
 ferri : diametri in mm; aree in cm2.

Simboli:

Vert. = contorno_vertice del CLS; d = diametro;
 S = Sigma (tensioni sui materiali);
 D = Deformazioni x 1000 (epsilon);
 Ve = colonna che indica se la verifica e' soddisfatta;

MATERIALI

Calcestruzzo: Rck = 300. ; fck = 249. ; fcd = 141.1 (.35%)
 Acciaio : Tipo= B450C ; ftk = 4500. ; fyk = 4500. ; ftd = 3913.04 (6.75%)

SEZIONE

L'asse Z e' rivolto verso destra, l'asse Y e' rivolto verso l'alto.

Tipo sezione: RETTANGOLARE

Cls:	Acciaio lento:							
	vert.	Z	Y	ferro	Z	Y	d[mm]	Af[cm ²]
1- 1	-235.	0.		1	232.	27.	12.	1.131
1- 2	-235.	30.		2	210.9	27.	12.	1.131
1- 3	235.	30.		3	189.8	27.	12.	1.131
1- 4	235.	0.		4	168.7	27.	12.	1.131
				5	147.6	27.	12.	1.131
				6	126.5	27.	12.	1.131
				7	105.5	27.	12.	1.131
				8	84.4	27.	12.	1.131
				9	63.3	27.	12.	1.131
				10	42.2	27.	12.	1.131
				11	21.1	27.	12.	1.131
				12	0.	27.	12.	1.131
				13	-21.1	27.	12.	1.131
				14	-42.2	27.	12.	1.131
				15	-63.3	27.	12.	1.131
				16	-84.4	27.	12.	1.131
				17	-105.5	27.	12.	1.131
				18	-126.5	27.	12.	1.131
				19	-147.6	27.	12.	1.131
				20	-168.7	27.	12.	1.131
				21	-189.8	27.	12.	1.131
				22	-210.9	27.	12.	1.131
				23	-232.	27.	12.	1.131
				24	232.	3.	12.	1.131
				25	210.9	3.	12.	1.131
				26	189.8	3.	12.	1.131
				27	168.7	3.	12.	1.131
				28	147.6	3.	12.	1.131
				29	126.5	3.	12.	1.131
				30	105.5	3.	12.	1.131
				31	84.4	3.	12.	1.131
				32	63.3	3.	12.	1.131
				33	42.2	3.	12.	1.131
				34	21.1	3.	12.	1.131
				35	0.	3.	12.	1.131
				36	-21.1	3.	12.	1.131
				37	-42.2	3.	12.	1.131
				38	-63.3	3.	12.	1.131
				39	-84.4	3.	12.	1.131
				40	-105.5	3.	12.	1.131
				41	-126.5	3.	12.	1.131
				42	-147.6	3.	12.	1.131
				43	-168.7	3.	12.	1.131
				44	-189.8	3.	12.	1.131
				45	-210.9	3.	12.	1.131
				46	-232.	3.	12.	1.131

SOLLECITAZIONI AGENTI

Sforzi normali applicati in z= 0. ; y= 15. (baricentro CLS)

Convenzioni: N + trazione; Mz + fib.inferiori tese; My + fib.sinistra tese.

N.	N	Mz	My	Sol: ultima/agente = fs (>=1 OK)
1	-67600.	1140000.	5100000.	
2	-29600.	1570000.	3290000.	

RISULTATI

Piani di equilibrio (eps= muz * y +muy * z + lam):

Sol.	muz	muy	lambda
1.	-.00001979881	-.00000035364	.00038146887
2.	-.00004655665	-.00000033949	.001079278

Deformazioni massime sui materiali:

sol	vert.	D	cls	S	cls	Ve	Acciaio lento					
							ferro	D	ferri	S	ferri	Ve
1	1- 3	- .2956	- .38.6	si			46.	.4041	808.2	si		
2	1- 3	- .3972	- .50.5	si			46.	1.0184	2036.7	si		

PARETE D SP.25

MATERIALI

Calcestruzzo: Rck = 300. ; fck = 249. ; fcd = 141.1 (.35%)
Acciaio : Tipo= B450C ; ftk = 4500. ; fyk = 4500. ; ftd = 3913.04 (6.75%)

SEZIONE

L'asse Z e' rivolto verso destra, l'asse Y e' rivolto verso l'alto.

Tipo sezione: RETTANGOLARE

Cls:	Acciaio lento:							
	vert.	Z	Y	ferro	Z	Y	d[mm]	Af[cm ²]
1- 1	-132.5	0.		1	129.5	22.	12.	1.131
1- 2	-132.5	25.		2	100.7	22.	12.	1.131
1- 3	132.5	25.		3	71.9	22.	12.	1.131
1- 4	132.5	0.		4	43.2	22.	12.	1.131
				5	14.4	22.	12.	1.131
				6	-14.4	22.	12.	1.131
				7	-43.2	22.	12.	1.131
				8	-71.9	22.	12.	1.131
				9	-100.7	22.	12.	1.131
				10	-129.5	22.	12.	1.131
				11	129.5	3.	12.	1.131
				12	100.7	3.	12.	1.131
				13	71.9	3.	12.	1.131
				14	43.2	3.	12.	1.131
				15	14.4	3.	12.	1.131
				16	-14.4	3.	12.	1.131
				17	-43.2	3.	12.	1.131
				18	-71.9	3.	12.	1.131
				19	-100.7	3.	12.	1.131
				20	-129.5	3.	12.	1.131

SOLLECITAZIONI AGENTI

Sforzi normali applicati in z= 0. ; y= 12.5 (baricentro CLS)

Convenzioni: N + trazione; Mz + fib.inferiori tese; My + fib.sinistra tese.

N	Mz	My	Sol: ultima/agente = fs (>=1 OK)
1	-31200.	236000.	6960000.
2	-37100.	613000.	4510000.

RISULTATI

Piani di equilibrio (eps= muz * y +muy * z + lam):

Sol.	muz	muy	lambda
1.	-.00001541587	-.00000591759	.00057247459
2.	-.0000446193	-.00000285625	.00083040587

Deformazioni massime sui materiali:

sol	vert.	cls	D	Acciaio lento			
				ferro	D ferri	S ferri	Ve
1	1- 3	-.597	-71.7	20.	1.2926	2585.1	si
2	1- 3	-.6635	-78.1	20.	1.0664	2132.9	si

PARETE DA SP.30

Tipo verifica : stati limite - pressoflessione deviata.

Unità di misura generiche: daN; cm; daNm; daN/cm²; d in mm; deformazioni*1000.
ferri : diametri in mm; aree in cm².

Simboli:

Vert. = contorno_vertice del CLS; d = diametro;
S = Sigma (tensioni sui materiali);
D = Deformazioni x 1000 (epsilon);
Ve = colonna che indica se la verifica e' soddisfatta:

MATERIALI

Calcestruzzo: Rck = 300. ; fck = 249. ; fcd = 141.1 (.35%)
Acciaio : Tipo= B450C ; ftk = 4500. ; fyk = 4500. ; ftd = 3913.04 (6.75%)

SEZIONE

L'asse Z e' rivolto verso destra, l'asse Y e' rivolto verso l'alto.

Tipo sezione: RETTANGOLARE

Cl: Acciaio lento:

vert.	z	y	ferro	z	y	d[mm]	Af[cm ²]
1- 1	-132.5	0.	1	129.5	27.	12.	1.131
1- 2	-132.5	30.	2	100.7	27.	12.	1.131
1- 3	132.5	30.	3	71.9	27.	12.	1.131
1- 4	132.5	0.	4	43.2	27.	12.	1.131
			5	14.4	27.	12.	1.131
			6	-14.4	27.	12.	1.131
			7	-43.2	27.	12.	1.131
			8	-71.9	27.	12.	1.131
			9	-100.7	27.	12.	1.131
			10	-129.5	27.	12.	1.131
			11	129.5	3.	12.	1.131
			12	100.7	3.	12.	1.131
			13	71.9	3.	12.	1.131
			14	43.2	3.	12.	1.131
			15	14.4	3.	12.	1.131
			16	-14.4	3.	12.	1.131
			17	-43.2	3.	12.	1.131
			18	-71.9	3.	12.	1.131
			19	-100.7	3.	12.	1.131
			20	-129.5	3.	12.	1.131

SOLLECITAZIONI AGENTI

Sforzi normali applicati in z= 0. ; y= 15. (baricentro CLS)

Convenzioni: N + trazione; Mz + fib.inferiori tese; My + fib.sinistra tese.

N	Mz	My	Sol: ultima/agente = fs (>=1 OK)
1	-30400.	561000.	4740000.
2	-32400.	595000.	3790000.

RISULTATI

Piani di equilibrio (eps= muz * y +muy * z + lam):

Sol.	muz	muy	lambda
1.	-.00002456979	-.00000313666	.00062457205
2.	-.00002544807	-.00000207994	.00057718509

Deformazioni massime sui materiali:

sol	vert.	cls	Acciaio lento			
			ferro	D ferri	S ferri	Ve
1	1- 3	-.5281	-64.7	.9571	1914.1	si
2	1- 3	-.4618	-57.6	.7702	1540.4	si

PARETE E

Tipo verifica : stati limite - pressoflessione deviata.

Unità di misura generiche: daN; cm; daNcm; daN/cm²; d in mm; deformazioni*1000.

ferri : diametri in mm; aree in cm².

Simboli:

Vert. = contorno_vertice del CLS; d = diametro;
 S = Sigma (tensioni sui materiali);
 D = Deformazioni x 1000 (epsilon);
 Ve = colonna che indica se la verifica e' soddisfatta;

MATERIALI

Calcestruzzo: Rck = 300. ; fck = 249. ; fcd = 141.1 (.35%)
 Acciaio : Tipo= B450C ; ftk = 4500. ; fyk = 4500. ; ftd = 3913.04 (6.75%)

SEZIONE

L'asse Z e' rivolto verso destra, l'asse Y e' rivolto verso l'alto.

Tipo sezione: RETTANGOLARE

vert.	z	y	Acciaio lento:				
			ferro	z	y	d[mm]	Af[cm ²]
1- 1	-132.5	0.	1	129.5	27.	12.	1.131
1- 2	-132.5	30.	2	107.9	27.	12.	1.131
1- 3	132.5	30.	3	86.3	27.	12.	1.131
1- 4	132.5	0.	4	64.8	27.	12.	1.131
			5	43.2	27.	12.	1.131
			6	21.6	27.	12.	1.131
			7	0.	27.	12.	1.131
			8	-21.6	27.	12.	1.131

9	-43.2	27.	12.	1.131
10	-64.8	27.	12.	1.131
11	-86.3	27.	12.	1.131
12	-107.9	27.	12.	1.131
13	-129.5	27.	12.	1.131
14	129.5	3.	12.	1.131
15	107.9	3.	12.	1.131
16	86.3	3.	12.	1.131
17	64.8	3.	12.	1.131
18	43.2	3.	12.	1.131
19	21.6	3.	12.	1.131
20	0.	3.	12.	1.131
21	-21.6	3.	12.	1.131
22	-43.2	3.	12.	1.131
23	-64.8	3.	12.	1.131
24	-86.3	3.	12.	1.131
25	-107.9	3.	12.	1.131
26	-129.5	3.	12.	1.131

SOLLECITAZIONI AGENTI

Sforzi normali applicati in z= 0. ; y= 15. (baricentro CLS)
Convenzioni: N + trazione; Mz + fib.inferiori tese; My + fib.sinistra tese.
N | N | Mz | My | Sol: ultima/agente = fs (>=1 OK)
1 | -24800. | 473000. | -3610000.
2 | -18600. | 694000. | 1130000.

RISULTATI

Piani di equilibrio (eps= muz * y +muy * z + lam):

Sol.	muz	muy	lambda
1.	-0.00001754277	.000000197127	.00041430712
2.	-0.00003317042	-0.00000059527	.0007501846

Deformazioni massime sui materiali:

sol	vert.	Cls	Acciaio lento									
			D	cls	S	cl	ferro	D	ferri	S	ferri	Ve
1	1- 2	- .3732	-47.7	si			14.	.617	1233.9	si		
2	1- 3	- .3238	-42.	si			26.	.7278	1455.5	si		

PARETE F

Tipo verifica : stati limite - pressoflessione deviata.
Unità di misura generiche: daN; cm; daNm; daN/cm2; d in mm; deformazioni*1000.
ferri : diametri in mm; aree in cm2.

Simboli:

Vert. = contorno_vertice del CLS; d = diametro;
S = Sigma (tensioni sui materiali);
D = Deformazioni x 1000 (epsilon);
Ve = colonna che indica se la verifica e' soddisfatta;

MATERIALI

Calcestruzzo: Rck = 300. ; fck = 249. ; fcd = 141.1 (.35%)
Acciaio : Tipo= B450C ; ftk = 4500. ; fyk = 4500. ; ftd = 3913.04 (6.75%)

SEZIONE

L'asse Z e' rivolto verso destra, l'asse Y e' rivolto verso l'alto.

Tipo sezione: RETTANGOLARE

Cls:	Acciaio lento:							
	vert.	Z	Y	ferro	Z	Y	d[mm]	Af[cm2]
1- 1	-250.	0.		1	247.	27.	12.	1.131
1- 2	-250.	30.		2	226.4	27.	12.	1.131
1- 3	250.	30.		3	205.8	27.	12.	1.131
1- 4	250.	0.		4	185.2	27.	12.	1.131
				5	164.7	27.	12.	1.131
				6	144.1	27.	12.	1.131
				7	123.5	27.	12.	1.131
				8	102.9	27.	12.	1.131
				9	82.3	27.	12.	1.131
				10	61.8	27.	12.	1.131
				11	41.2	27.	12.	1.131
				12	20.6	27.	12.	1.131
				13	0.	27.	12.	1.131

14	-20.6	27.	12.	1.131
15	-41.2	27.	12.	1.131
16	-61.8	27.	12.	1.131
17	-82.3	27.	12.	1.131
18	-102.9	27.	12.	1.131
19	-123.5	27.	12.	1.131
20	-144.1	27.	12.	1.131
21	-164.7	27.	12.	1.131
22	-185.2	27.	12.	1.131
23	-205.8	27.	12.	1.131
24	-226.4	27.	12.	1.131
25	-247.	27.	12.	1.131
26	-247.	3.	12.	1.131
27	-226.4	3.	12.	1.131
28	-205.8	3.	12.	1.131
29	-185.2	3.	12.	1.131
30	-164.7	3.	12.	1.131
31	-144.1	3.	12.	1.131
32	-123.5	3.	12.	1.131
33	-102.9	3.	12.	1.131
34	-82.3	3.	12.	1.131
35	-61.8	3.	12.	1.131
36	-41.2	3.	12.	1.131
37	-20.6	3.	12.	1.131
38	0.	3.	12.	1.131
39	20.6	3.	12.	1.131
40	41.2	3.	12.	1.131
41	61.8	3.	12.	1.131
42	82.3	3.	12.	1.131
43	102.9	3.	12.	1.131
44	123.5	3.	12.	1.131
45	144.1	3.	12.	1.131
46	164.7	3.	12.	1.131
47	185.2	3.	12.	1.131
48	205.8	3.	12.	1.131
49	226.4	3.	12.	1.131
50	247.	3.	12.	1.131

SOLLECITAZIONI AGENTI

Sforzi normali applicati in z= 0. ; y= 15. (baricentro CLS)

Convenzioni: N + trazione; Mz + fib.inferiori tese; My + fib.sinistra tese.

N.	N	Mz	My	Sol: ultima/agente = fs (>=1 OK)
1	-29800.	-2290000.	-4820000.	
2	-31900.	-2700000.	-3720000.	

RISULTATI

Piani di equilibrio (eps= muz * y +muy * z + lam):

Sol.	muz	muy	lambda
1.	.00006707407	.00000043864	-.00043584765
2.	.00008024918	.0000003455	-.00051972919

Deformazioni massime sui materiali:

sol	vert.	Cls				Acciaio lento				ve	
		D	cls	S	cls	ferro	D	ferri	S	ferri	
1	1- 1	-.5455		-66.5	si		1.	1.4835	2967.	si	
2	1- 1	-.6061		-72.6	si		1.	1.7323	3464.7	si	

PARETE G

Tipo verifica : stati limite - pressoflessione deviata.

Unità di misura generiche: daN; cm; daNcm; daN/cm2; d in mm; deformazioni*1000.

ferri : diametri in mm; aree in cm2.

Simboli:

Vert. = contorno_vertice del CLS; d = diametro;
 S = Sigma (tensioni sui materiali);
 D = Deformazioni x 1000 (epsilon);
 Ve = colonna che indica se la verifica e' soddisfatta;

MATERIALI

Calcestruzzo: Rck = 300. ; fck = 249. ; fcd = 141.1 (.35%)

Acciaio : Tipo= B450C ; ftk = 4500. ; fyk = 4500. ; ftd = 3913.04 (6.75%)

SEZIONE

L'asse Z e' rivolto verso destra, l'asse Y e' rivolto verso l'alto.

Tipo sezione: RETTANGOLARE

Cls:	Acciaio lento:							
	vert.	Z	Y	ferro	Z	Y	d[mm]	Af[cm ²]
1- 1	-132.5	0.		1	129.5	7.	8.	.5027
1- 2	-132.5	10.		2	100.7	7.	8.	.5027
1- 3	132.5	10.		3	71.9	7.	8.	.5027
1- 4	132.5	0.		4	43.2	7.	8.	.5027
				5	14.4	7.	8.	.5027
				6	-14.4	7.	8.	.5027
				7	-43.2	7.	8.	.5027
				8	-71.9	7.	8.	.5027
				9	-100.7	7.	8.	.5027
				10	-129.5	7.	8.	.5027
				11	129.5	3.	8.	.5027
				12	100.7	3.	8.	.5027
				13	71.9	3.	8.	.5027
				14	43.2	3.	8.	.5027
				15	14.4	3.	8.	.5027
				16	-14.4	3.	8.	.5027
				17	-43.2	3.	8.	.5027
				18	-71.9	3.	8.	.5027
				19	-100.7	3.	8.	.5027
				20	-129.5	3.	8.	.5027

SOLLECITAZIONI AGENTI

Sforzi normali applicati in z= 0. ; y= 5. (baricentro CLS)

Convenzioni: N + trazione; Mz + fib.inferiori tese; My + fib.sinistra tese.

N.	N	Mz	My	Sol: ultima/agente = fs (>=1 OK)
1	-42700.	11400.	-5630000.	
2	-30300.	165000.	-1530000.	

RISULTATI

Piani di equilibrio (eps= muz * y +muy * z + lam):

Sol.	muz	muy	lambda
1.	-.00001087542	.00000744276	.00028513129
2.	-.00022593207	.00000218114	.00154522819

Deformazioni massime sui materiali:

sol	vert.	Cls	Acciaio lento				D	ferri
			ferro	D	ferri	S	ferri	Ve
1	1- 2	1	-.8098	-91.1	si	11.	1.2163	2432.7
2	1- 2	2	-1.0031	-106.	si	11.	1.1499	2299.8

VERIFICA A TAGLIO

Il taglio di calcolo è amplificato del 50%

PARETE	COMB	Fz (kgf)	VEd (kgf)
PARETE A	S20	1.37E+05	2.06E+05
PARETE B	S1	9.84E+04	1.48E+05
PARETE C	S32	-3.50E+04	-5.25E+04
PARETE D	S1	2.10E+04	3.14E+04
PARETE DA	S16	-1.80E+04	-2.71E+04
PARETE E	S4	2.73E+04	4.10E+04
PARETE F	S32	-1.90E+04	-2.84E+04
PARETE G	S13	-1.97E+04	-2.95E+04

PARETE A

Verifica a taglio DM18

Calcestruzzo

$R_{ck} =$	300	kg/cm ²
$f_{ck} =$	249	kg/cm ²
$f_{ctk} =$	18.2	kg/cm ²
$\gamma_c =$	1.5	
$\alpha_{cc} =$	0.85	

Acciaio

$f_{yk} =$	4500	kg/cm ²
$\gamma_s =$	1.15	
$f_{yd} =$	3913	kg/cm ²
$f_{cd} =$	141	kg/cm ²
$f_{cd} =$	71	kg/cm ²
$f_{ctd} =$	12.2	kg/cm ²

Azioni agente

$V_{Sd} =$	205613	kg	$N_{Sd+} =$	0	kg
$N_{Sd} =$	0	kg	$N_{Sd-} =$	0	kg

Dati sezione

$b_w =$	20	cm
$h =$	2920	cm
$c =$	4	cm copriferro
$d =$	2916	cm

$\sigma_{cp} =$	0.0	kg/cm ²	$\alpha_c =$	1.00
$\sigma_{cp(+)} =$	0.0	kg/cm ²	$\alpha_{c(+)} =$	1.00
$\sigma_{cp(-)} =$	0.0	kg/cm ²	$\alpha_{c(-)} =$	1.00

Armature disposte

Staffe	$\theta =$	45 °	Diag.	$\theta =$	45 °
	$\alpha =$	90 °			
nb	ϕ	A_{sw}	nb	ϕ	A_{sw}

2	8	1.00	0	5	0.00
0	0	0.00	0	10	0.00

$A_{sw} =$	1.00	cm ²	$A_{sp} =$	0.00	cm ²
$s =$	20	cm	$s =$	20	cm

Capacità portante a taglio $V_{Rd} = 513464$ kg verificato

a) Taglio compressione

$V_{Rcd} =$	1851514	kg
$V_{Rcd(+)} =$	1851514	kg
$V_{Rcd(-)} =$	1851514	kg

b) Crisi armatura di parete

$V_{Rsd} =$	513464	kg
-------------	--------	----

PARETE B

Verifica a taglio DM18

Calcestruzzo

$R_{ck} =$	300	kg/cm ²
$f_{ck} =$	249	kg/cm ²
$f_{ctk} =$	18.2	kg/cm ²
$\gamma_c =$	1.5	
$\alpha_{cc} =$	0.85	

Acciaio

$f_{yk} =$	4500	kg/cm ²
$\gamma_s =$	1.15	
$f_{yd} =$	3913	kg/cm ²
$f_{cd} =$	141	kg/cm ²
$f_{cd} =$	71	kg/cm ²
$f_{ctd} =$	12.2	kg/cm ²

Azioni agente

$V_{Sd} =$	148000	kg	$N_{Sd+} =$	0	kg
$N_{Sd} =$	0	kg	$N_{Sd-} =$	0	kg

Dati sezione

$b_w =$	20	cm
$h =$	1950	cm
$c =$	4	cm copriferro
$d =$	1946	cm

$\sigma_{cp} =$	0.0	kg/cm ²	$\alpha_c =$	1.00
$\sigma_{cp(+)} =$	0.0	kg/cm ²	$\alpha_{c(+)} =$	1.00
$\sigma_{cp(-)} =$	0.0	kg/cm ²	$\alpha_{c(-)} =$	1.00

Armature disposte

Staffe	$\theta =$	45 °	Diag.	$\theta =$	45 °
	$\alpha =$	90 °			
nb	ϕ	A_{sw}	nb	ϕ	A_{sw}

2	8	1.00	0	5	0.00
0	0	0.00	0	10	0.00

$$A_{sw} = 1.00 \text{ cm}^2$$

$$s = 20 \text{ cm}$$

$$A_{sp} = 0.00 \text{ cm}^2$$

$$s = 20 \text{ cm}$$

Capacità portante a taglio

$$V_{Rd} = 342661 \text{ kg}$$

verificato

a) Taglio compressione

$$V_{Rcd} = 1235613 \text{ kg}$$

$$V_{Rcd(+)} = 1235613 \text{ kg}$$

$$V_{Rcd(-)} = 1235613 \text{ kg}$$

b) Crisi armatura di parete

$$V_{Rsd} = 342661 \text{ kg}$$

PARETE C

Verifica a taglio DM18

Calcestruzzo

$R_{ck} =$	300	kg/cm ²
$f_{ck} =$	249	kg/cm ²
$f_{ctk} =$	18.2	kg/cm ²
$\gamma_c =$	1.5	
$\alpha_{cc} =$	0.85	

Acciaio

$f_{yk} =$	4500	kg/cm ²
$\gamma_s =$	1.15	
$f_{yd} =$	3913	kg/cm ²
$f_{cd} =$	141	kg/cm ²
$f_{cd} =$	71	kg/cm ²
$f_{ctd} =$	12.2	kg/cm ²

Azioni agente

$V_{Sd} =$	53000	kg	$N_{Sd+} =$	0	kg
$N_{Sd} =$	0	kg	$N_{Sd-} =$	0	kg

Dati sezione

$b_w =$	30	cm
$h =$	470	cm
$c =$	4	cm copriferro
$d =$	466	cm

$\sigma_{cp} =$	0.0	kg/cm ²	$\alpha_c =$	1.00
$\sigma_{cp(+)} =$	0.0	kg/cm ²	$\alpha_{c(+)} =$	1.00
$\sigma_{cp(-)} =$	0.0	kg/cm ²	$\alpha_{c(-)} =$	1.00

Armature disposte

Staffe	$\theta =$	45 °	Diag.	$\theta =$	45 °
	$\alpha =$	90 °			
nb	ϕ	A_{sw}	nb	ϕ	A_{sw}

2	10	1.57	0	5	0.00
0	0	0.00	0	10	0.00

$$A_{sw} = 1.57 \text{ cm}^2$$

$$s = 20 \text{ cm}$$

$$A_{sp} = 0.00 \text{ cm}^2$$

$$s = 20 \text{ cm}$$

Capacità portante a taglio

$$V_{Rd} = 128827 \text{ kg}$$

verificato

a) Taglio compressione

$V_{Rcd} =$	443830	kg
$V_{Rcd(+)} =$	443830	kg
$V_{Rcd(-)} =$	443830	kg

b) Crisi armatura di parete

$$V_{Rsd} = 128827 \text{ kg}$$

PARETE D SP 25

Verifica a taglio DM18					
Calcestruzzo		Acciaio			
$R_{ck} =$	300 kg/cm ²	$f_{yk} =$	4500 kg/cm ²		
$f_{ck} =$	249 kg/cm ²	$\gamma_s =$	1.15		
$f_{ctk} =$	18.2 kg/cm ²	$f_{yd} =$	3913 kg/cm ²		
$\gamma_c =$	1.5	$f_{cd} =$	141 kg/cm ²		
$\alpha_{cc} =$	0.85	$f_{cd} =$	71 kg/cm ²		
		$f_{ctd} =$	12.2 kg/cm ²		
Azioni agente					
$V_{Sd} =$	32000 kg	$N_{Sd+} =$	0 kg		
$N_{Sd} =$	0 kg	$N_{Sd-} =$	0 kg		
Dati sezione					
$b_w =$	25 cm				
$h =$	265 cm				
$c =$	4 cm	copriferro			
$d =$	261 cm				
$\sigma_{cp} =$	0.0 kg/cm ²	$\alpha_c =$	1.00		
$\sigma_{cp(+)} =$	0.0 kg/cm ²	$\alpha_{c(+)} =$	1.00		
$\sigma_{cp(-)} =$	0.0 kg/cm ²	$\alpha_{c(-)} =$	1.00		
Armature disposte					
Staffe	$\theta =$ 45 °	Diag.	$\theta =$ 45 °		
	$\alpha =$ 90 °				
nb	ϕ	A_{sw}	nb	ϕ	A_{sw}
2	8	1.00	0	5	0.00
0	0	0.00	0	10	0.00
$A_{sw} =$ 1.00 cm ²		$A_{sp} =$ 0.00 cm ²		$s =$ 20 cm	
$s =$ 20 cm					
Capacità portante a taglio		$V_{Rd} =$ 45958 kg	verificato		
<i>a) Taglio compressione</i>					
$V_{Rcd} =$	207152 kg				
$V_{Rcd(+)} =$	207152 kg				
$V_{Rcd(-)} =$	207152 kg				
<i>b) Crisi armatura di parete</i>					
$V_{Rsd} =$	45958 kg				

PARETE DA SP.30

Verifica a taglio DM18					
Calcestruzzo		Acciaio			
$R_{ck} =$	300 kg/cm ²	$f_{yk} =$	4500 kg/cm ²		
$f_{ck} =$	249 kg/cm ²	$\gamma_s =$	1.15		
$f_{ctk} =$	18.2 kg/cm ²	$f_{yd} =$	3913 kg/cm ²		
$\gamma_c =$	1.5	$f_{cd} =$	141 kg/cm ²		
$\alpha_{cc} =$	0.85	$f_{cd} =$	71 kg/cm ²		
		$f_{ctd} =$	12.2 kg/cm ²		
Azioni agente					
$V_{Sd} =$	30000 kg	$N_{Sd+} =$	0 kg		
$N_{Sd} =$	0 kg	$N_{Sd-} =$	0 kg		
Dati sezione					
$b_w =$	30 cm				
$h =$	265 cm				
$c =$	4 cm	copriferro			
$d =$	261 cm				
$\sigma_{cp} =$	0.0 kg/cm ²	$\alpha_c =$	1.00		
$\sigma_{cp(+)} =$	0.0 kg/cm ²	$\alpha_{c(+)} =$	1.00		
$\sigma_{cp(-)} =$	0.0 kg/cm ²	$\alpha_{c(-)} =$	1.00		
Armature disposte					
Staffe	$\theta =$ 45 °	Diag.	$\theta =$ 45 °		
	$\alpha =$ 90 °				
nb	ϕ	A_{sw}	nb	ϕ	A_{sw}
2	10	1.57	0	5	0.00
0	0	0.00	0	10	0.00
	$A_{sw} =$	1.57 cm ²		$A_{sp} =$	0.00 cm ²
	s =	20 cm		s =	20 cm
Capacità portante a taglio		$V_{Rd} =$ 72154 kg	verificato		
<i>a) Taglio compressione</i>					
$V_{Rcd} =$	248583 kg				
$V_{Rcd(+)} =$	248583 kg				
$V_{Rcd(-)} =$	248583 kg				
<i>b) Crisi armatura di parete</i>					
$V_{Rsd} =$	72154 kg				

PARETE E

Verifica a taglio DM18

Calcestruzzo

$R_{ck} =$	300	kg/cm ²
$f_{ck} =$	249	kg/cm ²
$f_{ctk} =$	18.2	kg/cm ²
$\gamma_c =$	1.5	
$\alpha_{cc} =$	0.85	

Acciaio

$f_{yk} =$	4500	kg/cm ²
$\gamma_s =$	1.15	
$f_{yd} =$	3913	kg/cm ²
$f_{cd} =$	141	kg/cm ²
$f_{cd} =$	71	kg/cm ²
$f_{ctd} =$	12.2	kg/cm ²

Azioni agente

$V_{Sd} =$	41000	kg	$N_{Sd+} =$	0	kg
$N_{Sd} =$	0	kg	$N_{Sd-} =$	0	kg

Dati sezione

$b_w =$	30	cm
$h =$	470	cm
$c =$	4	cm copriferro
$d =$	466	cm

$\sigma_{cp} =$	0.0	kg/cm ²	$\alpha_c =$	1.00
$\sigma_{cp(+)} =$	0.0	kg/cm ²	$\alpha_{c(+)} =$	1.00
$\sigma_{cp(-)} =$	0.0	kg/cm ²	$\alpha_{c(-)} =$	1.00

Armature disposte

Staffe	$\theta =$	45 °	Diag.	$\theta =$	45 °
	$\alpha =$	90 °			
nb	ϕ	A_{sw}	nb	ϕ	A_{sw}
2	10	1.57	0	5	0.00
0	0	0.00	0	10	0.00
	$A_{sw} =$	1.57 cm ²		$A_{sp} =$	0.00 cm ²
	$s =$	20 cm		$s =$	20 cm

Capacità portante a taglio

$V_{Rd} = 128827$ kg verificato

a) Taglio compressione

$V_{Rcd} =$	443830	kg
$V_{Rcd(+)} =$	443830	kg
$V_{Rcd(-)} =$	443830	kg

b) Crisi armatura di parete

$V_{Rsd} = 128827$ kg

PARETE F

Verifica a taglio DM18										
Calcestruzzo		Acciaio								
$R_{ck} =$	300 kg/cm ²	$f_{yk} =$	4500 kg/cm ²							
$f_{ck} =$	249 kg/cm ²	$\gamma_s =$	1.15							
$f_{ctk} =$	18.2 kg/cm ²	$f_{yd} =$	3913 kg/cm ²							
$\gamma_c =$	1.5	$f_{cd} =$	141 kg/cm ²							
$\alpha_{cc} =$	0.85	$f_{cd} =$	71 kg/cm ²							
		$f_{ctd} =$	12.2 kg/cm ²							
Azioni agente										
$V_{Sd} =$	30000 kg	$N_{Sd+} =$	0 kg							
$N_{Sd} =$	0 kg	$N_{Sd-} =$	0 kg							
Dati sezione										
$b_w =$	30 cm									
$h =$	520 cm									
$c =$	4 cm	copriferro								
$d =$	516 cm									
$\sigma_{cp} =$	0.0 kg/cm ²	$\alpha_c =$	1.00							
$\sigma_{cp(+)} =$	0.0 kg/cm ²	$\alpha_{c(+)} =$	1.00							
$\sigma_{cp(-)} =$	0.0 kg/cm ²	$\alpha_{c(-)} =$	1.00							
Armature disposte										
Staffe	$\theta =$ 45 °	Diag.	$\theta =$ 45 °							
	$\alpha =$ 90 °									
nb	ϕ	A_{sw}	nb	ϕ	A_{sw}					
2	10	1.57	0	5	0.00					
0	0	0.00	0	10	0.00					
$A_{sw} =$ 1.57 cm ²		$A_{sp} =$ 0.00 cm ²		$s =$ 20 cm						
Capacità portante a taglio		$V_{Rd} =$ 142650 kg	verificato							
<i>a) Taglio compressione</i>										
$V_{Rcd} =$ 491451 kg										
$V_{Rcd(+)} =$ 491451 kg										
$V_{Rcd(-)} =$ 491451 kg										
<i>b) Crisi armatura di parete</i>										
$V_{Rsd} =$ 142650 kg										

PARETE G

Verifica a taglio DM18

Calcestruzzo

$R_{ck} =$	300	kg/cm ²
$f_{ck} =$	249	kg/cm ²
$f_{ctk} =$	18.2	kg/cm ²
$\gamma_c =$	1.5	
$\alpha_{cc} =$	0.85	

Acciaio

$f_{yk} =$	4500	kg/cm ²
$\gamma_s =$	1.15	
$f_{yd} =$	3913	kg/cm ²
$f_{cd} =$	141	kg/cm ²
$f_{cd} =$	71	kg/cm ²
$f_{ctd} =$	12.2	kg/cm ²

Azioni agente

$V_{Sd} =$	30000	kg	$N_{Sd+} =$	0	kg
$N_{Sd} =$	0	kg	$N_{Sd-} =$	0	kg

Dati sezione

$b_w =$	10	cm
$h =$	265	cm
$c =$	4	cm copriferro
$d =$	261	cm

$\sigma_{cp} =$	0.0	kg/cm ²	$\alpha_c =$	1.00
$\sigma_{cp(+)} =$	0.0	kg/cm ²	$\alpha_{c(+)} =$	1.00
$\sigma_{cp(-)} =$	0.0	kg/cm ²	$\alpha_{c(-)} =$	1.00

Armature disposte

Staffe	$\theta =$	45 °	Diag.	$\theta =$	45 °
	$\alpha =$	90 °			
nb	ϕ	A_{sw}	nb	ϕ	A_{sw}
2	8	1.00	0	5	0.00
0	0	0.00	0	10	0.00
	$A_{sw} =$	1.00 cm ²		$A_{sp} =$	0.00 cm ²
	$s =$	20 cm		$s =$	20 cm

Capacità portante a taglio

$V_{Rd} = 45958$ kg verificato

a) Taglio compressione

$V_{Rcd} =$	82861	kg
$V_{Rcd(+)} =$	82861	kg
$V_{Rcd(-)} =$	82861	kg

b) Crisi armatura di parete

$V_{Rsd} =$	45958	kg
-------------	-------	----

13.9. Verifica fuori piano parete E-B

Dal modello di calcolo emerge come in fase sismica le pareti di estremità tendano a “sbandierare” per effetto della massa del trave sovrastante il portico. Sono per cui necessari in corrispondenza delle sezioni indicate degli infittimenti alle armature orizzontali di base.

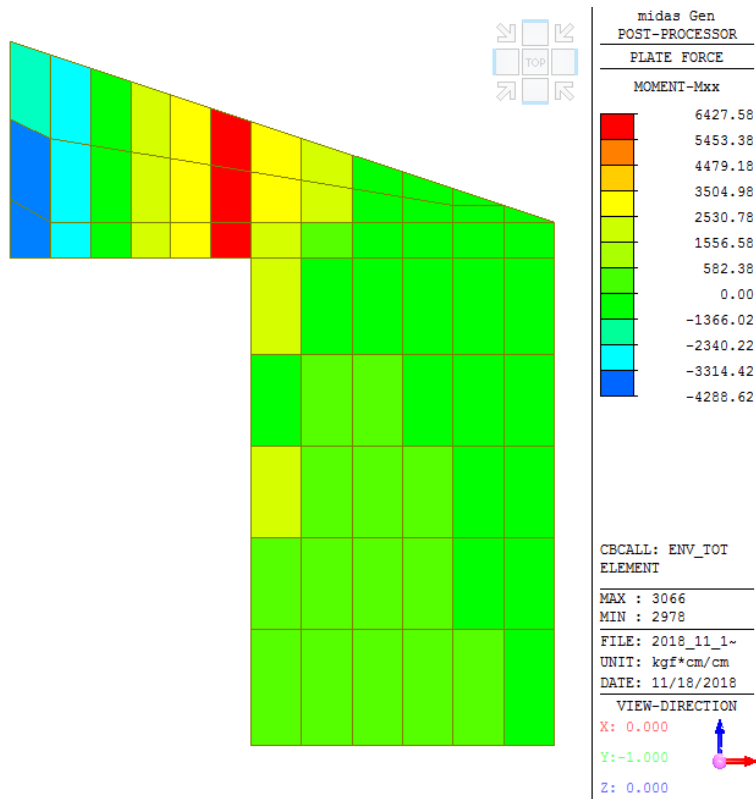


Figura 23 - Momento orizzontale fuori piano parete E

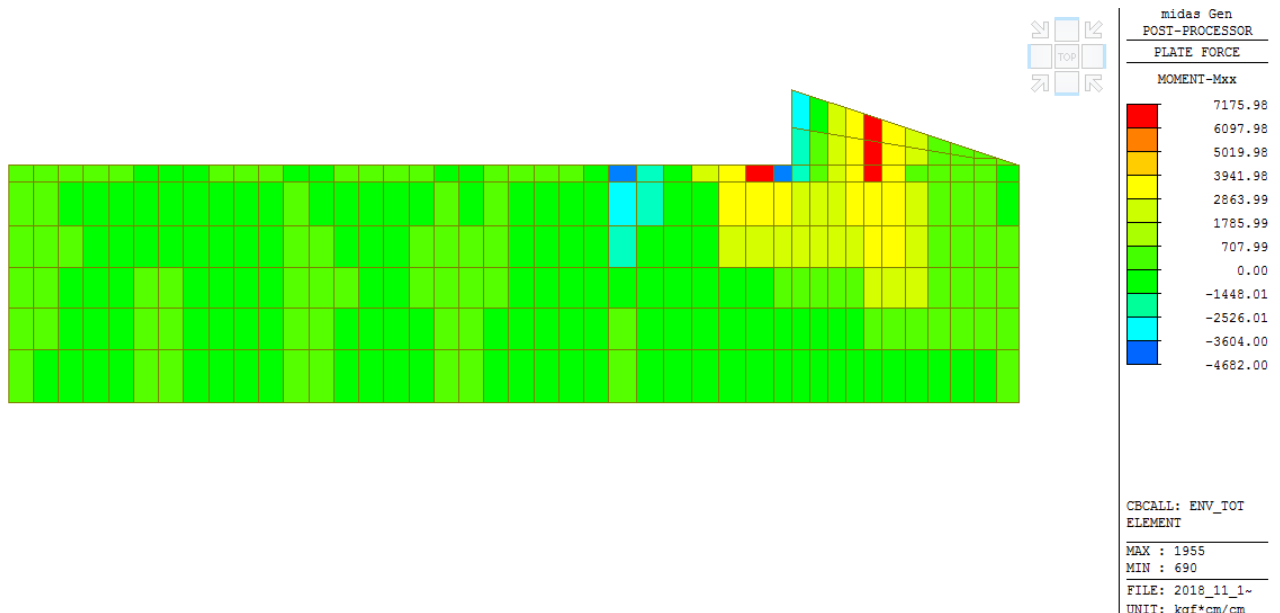


Figura 24- Momento orizzontale fuori piano parete B

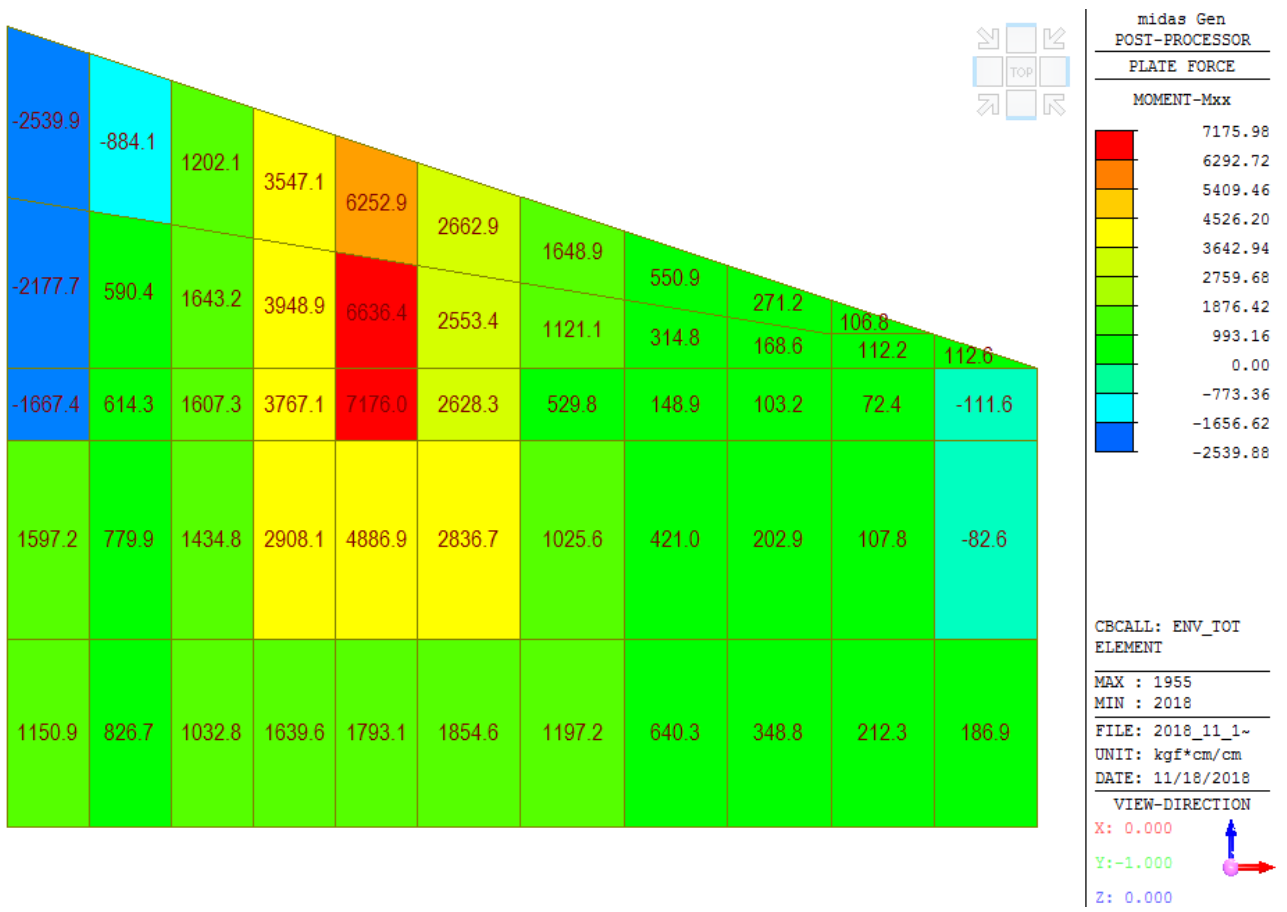


Figura 25 - Dettaglio momento orizzontale fuori piano parete B

Il massimo valore sollecitante sulla striscia di un metro è pari a :

$$M_{xx,Ed} = (7176 + 6636 + 6252)/3 = 6688 \text{ kgm/m}$$

Tipo verifica : stati limite - pressoflessione retta.

Unità di misura generiche: daN; cm; daNcm; daN/cm²; d in mm; deformazioni*1000.
ferri : diametri in mm; aree in cm².

Simboli:

Vert. = contorno_vertice del CLS; d = diametro;
S = Sigma (tensioni sui materiali);
D = Deformazioni x 1000 (epsilon);
Ve = colonna che indica se la verifica e' soddisfatta;

MATERIALI

Calcestruzzo: Rck = 300. ; fck = 249. ; fcd = 141.1 (.35%)
Acciaio : Tipo= B450C ; ftk = 4500. ; fyk = 4500. ; ftd = 3913.04 (6.75%)

SEZIONE

L'asse Z e' rivolto verso destra, l'asse Y e' rivolto verso l'alto.

Tipo sezione: RETTANGOLARE

Cls:	Acciaio lento:							
	vert.	z	y	ferro	z	y	d[mm]	Af[cm ²]
1- 1	-50.	0.		1	47.	17.	14.	1.5394
1- 2	-50.	20.		2	36.6	17.	14.	1.5394
1- 3	50.	20.		3	26.1	17.	14.	1.5394
1- 4	50.	0.		4	15.7	17.	14.	1.5394
				5	5.2	17.	14.	1.5394
				6	-5.2	17.	14.	1.5394
				7	-15.7	17.	14.	1.5394
				8	-26.1	17.	14.	1.5394
				9	-36.6	17.	14.	1.5394
				10	-47.	17.	14.	1.5394
				11	47.	3.	14.	1.5394

12	36.6	3.	14.	1.5394
13	26.1	3.	14.	1.5394
14	15.7	3.	14.	1.5394
15	5.2	3.	14.	1.5394
16	-5.2	3.	14.	1.5394
17	-15.7	3.	14.	1.5394
18	-26.1	3.	14.	1.5394
19	-36.6	3.	14.	1.5394
20	-47.	3.	14.	1.5394

SOLLECITAZIONI AGENTI

Sforzi normali applicati in z= 0. ; y= 10. (baricentro CLS)
 Convenzioni: N + trazione; Mz + fib.inferiori tese; My + fib.sinistra tese.
 N. | N | Mz | My | Sol: ultima/agente = fs (>=1 OK)
 1| 0. | 668800. | 0. |

RISULTATI

Piani di equilibrio (eps= muz * y +muy * z + lam):

Sol.	muz	muy	lambda
1.	-0.00013798183	0.	.00190260547

Deformazioni massime sui materiali:

sol	vert.	cls	Acciaio lento		ferro		ferri		Acciaio lento					
			D	s	D	s	Ve	D	s	Ve				
1	1- 2	- .857		-95.		si		11.		1.4887		2977.3		si

14. Conclusioni

A seguito degli esiti delle verifiche svolte si attesta la conformità delle stesse secondo la normativa di riferimento.